

บทที่ 3

ผลและวิจารณ์ผลการทดลอง

3.1 การคัดเลือกแบคทีเรียแลกติกที่สามารถสร้าง เอ็กโซโพลิแซคคาไรด์ (EPSs)

จากการแยกและคัดเลือกแบคทีเรียแลกติกที่สามารถผลิต EPSs ในอาหาร MRS แข็งที่มีน้ำตาลกลูโคส ซูโครส ฟรุคโตส และ แลคโตส ความเข้มข้นร้อยละ 2 ในสภาวะที่มีและไม่มีออกซิเจน โดยการสังเกตโคโลนีที่เมือกเยิ้มและ การใช้สี RR ในการตรวจสอบพบว่า จากเครื่องในของปลา กุ้ง และตัวอย่างหอย 13 ชนิด สามารถแยกเชื้อได้ทั้งหมด 67 สายพันธุ์ สามารถแยกแบคทีเรียแลกติกที่ผลิต EPSs จากเครื่องในปลาสดหิน (Damsel fish) ได้มากที่สุดจำนวนคือ 14 สายพันธุ์ โดยมีสายพันธุ์ที่ผลิต EPSs ได้ในปริมาณสูงคือ 9 กรัมต่อลิตรจำนวน 1 สายพันธุ์ ผลิตได้ในช่วง 3.1-3.6 กรัมต่อลิตรจำนวน 4 สายพันธุ์และผลิตได้ในช่วง 1.7-2.9 จำนวน 9 สายพันธุ์ ในขณะที่เมื่อแยกแบคทีเรียแลกติกที่ผลิต EPSs จากหอยแมลงภู (Green mussel) หอยแครง (Cockle) กุ้งขาว (White shrimp) และ ปลาโคก (Chacunda gizzard-shad) พบว่าได้แบคทีเรียแลกติกที่สร้าง EPSs น้อยที่สุดซึ่งมีจำนวนเท่ากันคือ 2 สายพันธุ์ จากจำนวนแบคทีเรียทั้งหมด 67 สายพันธุ์ พบว่าแบคทีเรียสายพันธุ์ที่สามารถผลิต EPSs ได้สูงที่สุดคือ 14.5 กรัมต่อลิตรเป็นแบคทีเรียสายพันธุ์ที่แยกได้จาก หอยแมลงภู ในขณะที่สายพันธุ์ที่ผลิต EPSs ได้ในปริมาณน้อยที่สุดคือ 0.8 กรัมต่อลิตรเป็นแบคทีเรียที่แยกได้จากหอยแครง (ตารางที่ 9)

ในการคัดแยกแบคทีเรียแลกติกที่มีความสามารถในการผลิต EPSs ในสภาวะที่มีและไม่มีออกซิเจนพบว่าสามารถคัดแยกแบคทีเรียได้ในจำนวนที่ใกล้เคียงกันคือ จำนวน 35 สายพันธุ์ในสภาวะที่มีออกซิเจนและ 32 สายพันธุ์ในสภาวะที่ไม่มีออกซิเจนโดยคิดเป็นร้อยละ 52.24 และ 47.76 ตามลำดับ (ตารางที่ 10) ทั้งนี้จากการศึกษามาพบว่าสภาวะที่มีความเหมาะสมในการสร้าง EPSs นั้นเป็นสภาวะที่มีออกซิเจนในปริมาณน้อย (Gamar-Nourani *et al.*, 1998) ดังนั้นการที่แบคทีเรียเจริญในสภาวะที่มีออกซิเจนสูงจึงผลิต EPSs ได้น้อย แต่จากวิธีการที่ใช้ในการคัดแยกแบคทีเรียสายพันธุ์ที่สร้าง EPSs นั้นได้ใช้สี RR มาใช้ในการตรวจสอบการสร้าง EPSs ซึ่งเป็นวิธีที่สามารถตรวจสอบสายพันธุ์ที่สร้าง EPSs ในสภาวะที่ไม่เหมาะสมได้ซึ่งมีปริมาณน้อยๆได้ จึงทำให้ตรวจสอบสายพันธุ์ที่ผลิต EPSs ได้ใกล้เคียงกัน ระหว่างสภาวะที่มีและไม่มีออกซิเจน

ตารางที่ 9 จำนวนสายพันธุ์แบคทีเรียแลคติกที่สร้าง EPSs ที่แยกได้จากตัวอย่างชนิดต่างๆ

Table 9. Number of EPSs producing isolates obtained from marine animals.

Type of Samples	EPSs yield (g/l)	Obtained isolates	Total isolates
<i>Perna viridis</i> (Green mussel)	14.2-14.5	2	2
<i>Arca granulosa</i> (Cockle)	10.2	1	2
	2.1	1	
<i>Rastrelliger brachysoma</i> (Short mackerel)	4.4-4.9	3	5
	3.7	1	
	1.8	1	
<i>Dascyllus aruanus</i> (Damsel fish)	9	1	14
	3.1-3.6	4	
	1.7-2.9	9	
<i>Batrachus grunniens</i> (Toad Fish)	9.9	1	5
	1.2-3.5	4	
<i>Parambassis siamensis</i> (Pla Pan.)	9.9	1	5
	1.1-2.6	4	
<i>Parupeneus cinnabarins</i> (Red Mullet)	3.5-4.0	3	6
	1.9-2.4	3	
<i>Penaeus vannamei</i> (White shrimp)	3.9	1	2
	1.9	1	
<i>Plotosus canius</i> (Catfish)	3.1-3.8	5	8
	1.7-2.9	3	
<i>Thenus</i> spp.(Slipper Lobster)	3.5-3.6	2	4
	2.5-2.9	2	
Pla Tong-Taew	3.4-3.6	2	7
	2.3-1.6	5	
<i>Anodontostoma chacunda</i> (Chacunda gizzard-shad)	3.1-3.4	2	2

ตารางที่ 9 (ต่อ)

Table 9. Cont.

Type of Samples	EPSs yield (g/l)	Obtained isolates	Total isolates
<i>Otolithes</i> spp.(Croaker)	2.1-3.4	2	5
	0.8-1.2	3	

ตารางที่ 10 จำนวนแบคทีเรียที่คัดแยกได้จากสภาวะที่มีและไม่มีอากาศ

Table 10. Number of isolates obtained from aerobic and anaerobic condition.

Condition	Number of obtained isolates	Percentage (%)
Aerobic	35	52.24
Anaerobic	32	47.76

จากการคัดแยกแบคทีเรียแลคติกที่ผลิต EPSs โดยการใช้อาหาร MRS ที่มีแหล่งคาร์บอนที่ต่างกันคือ น้ำตาล กลูโคส แลคโตส ฟรุคโตส และ ซูโครส พบว่าสามารถแยกแบคทีเรียแลคติกที่ผลิต EPSs ในอาหารที่มีซูโครสเป็นแหล่งคาร์บอนได้มากที่สุดคือ 27 สายพันธุ์ จากที่แยกได้ทั้งหมด 67 สายพันธุ์ ซึ่งคิดเป็นร้อยละ 40.29 ของจำนวนสายพันธุ์ทั้งหมดในขณะที่ใช้น้ำตาลแลคโตสเป็นแหล่งคาร์บอนสามารถแยกแบคทีเรียได้จำนวนน้อยที่สุดคือ 12 สายพันธุ์ซึ่งคิดเป็นร้อยละ 17.91 ส่วนการใช้น้ำตาลกลูโคสและน้ำตาลฟรุคโตสเป็นแหล่งคาร์บอนนั้นสามารถแยกแบคทีเรียได้จำนวน 14 สายพันธุ์เท่ากันโดยคิดเป็นร้อยละ 20.89 ซึ่งสอดคล้องกับการศึกษาโดย Van Geel-Schutten และคณะ (1998) ที่พบว่าซูโครสเป็นแหล่งคาร์บอนที่มีความเหมาะสมต่อการสร้าง EPSs ของแบคทีเรียแลคติกเมื่อเปรียบเทียบกับการใช้น้ำตาล กลูโคส ฟรุคโตส แลคโตส มอลโตส และ ราฟิโนส นอกจากนี้จากการศึกษาโดย Smitinont และคณะ (1999) ซึ่งแยกแบคทีเรียที่สร้าง EPSs จากอาหารหมักพื้นบ้าน โดยใช้อาหาร MRS ที่มีการเติมน้ำตาลชนิดต่างๆ และพบว่าสามารถแยกแบคทีเรียแลคติกที่สร้าง EPSs ได้จากอาหารที่เติมน้ำตาลซูโครสเป็นแหล่งคาร์บอนเท่านั้น อย่างไรก็ตามในการคัดเลือกแบคทีเรียแลคติกที่สร้าง EPSs นั้นน้ำตาลที่ใช้ในการคัดเลือกล้วนไม่มีชนิดไหนที่ดีที่สุด ทั้งนี้ขึ้นอยู่กับความเหมาะสมของชนิดของแหล่งคาร์บอนต่อแบคทีเรียแต่ละสายพันธุ์ ซึ่งจะมีความแตกต่างกันออกไปขึ้นอยู่กับสายพันธุ์นั้นๆ ทั้งนี้เนื่องจากแบคทีเรียแต่ละสายพันธุ์จะมีความแตกต่างที่กระบวนการในการสร้าง EPSs ตั้งแต่การกระบวนการในการนำน้ำตาลเข้าสู่

เซลล์ตลอดจนกระบวนการสังเคราะห์หน่วยย่อยของน้ำตาลที่จะนำไปต่อเป็นสายพอลิเมอร์ของ EPSs (Chervaux *et al.*, 2000 อ้างโดย Ruas-Madiedo and Reyes-Gavilan, 2005) เช่นเมื่อศึกษาการผลิต EPSs ของ *L. lactis* sp. *cremoris* NIZO B40 พบว่าผลิต EPSs ได้สูงสุดเมื่อใช้น้ำตาลกลูโคสเป็นแหล่งคาร์บอน (Looijesteijn, 1999) ในขณะที่ *L. plantarum* EP56 สามารถผลิต EPSs ได้สูงเมื่อใช้น้ำตาลแลคโตสเป็นแหล่งคาร์บอน (Tallon *et al.*, 2003) และ *S. thermophilus* จะผลิต EPSs ได้สูงสุดเมื่อใช้น้ำตาลกาแลคโตสเป็นแหล่งคาร์บอน (Hassen, 2001) ขณะที่ *L. delbrueckii* subsp. *bulgaricus* จะผลิต EPSs ในอาหารที่ใช้กลูโคสเป็นแหล่งคาร์บอนโดยที่ไม่สามารถผลิต EPSs ในอาหารที่ใช้น้ำตาลแลคโตสเป็นแหล่งคาร์บอน (Garcia-Garibay 1991) เป็นต้น

นอกจากชนิดของสัตว์ทะเล และชนิดน้ำตาลที่ใช้เป็นแหล่งคาร์บอนแล้ว จำนวนสายพันธุ์แบคทีเรียที่ผลิต EPSs ที่แยกได้ยังขึ้นอยู่กับความไวของวิธีการตรวจสอบการผลิต EPSs ในคัดเลือกด้วยโดยได้ทำการคัดเลือกแบคทีเรียที่ผลิต EPSs ในเชิงคุณภาพไปพร้อมกันกับการแยกเชื้อบนอาหารแข็ง MRS โดยใช้วิธีการตรวจสอบ 2 วิธีคือวิธีทางกายภาพที่ใช้วิธีการสังเกตลักษณะโคโลนีที่เมือกเยิ้มหรือใช้ลูปมาตะโคโลนีแล้วยกขึ้นเห็นเป็นเส้นใยยืด และวิธีทางเคมีซึ่งอาศัย การเติมสี ruthenium red (RR) เป็นสารในการตรวจสอบการสร้าง EPSs ในอาหาร MRS agar โดยพบว่าเมื่อใช้การสังเกตลักษณะเมือกเยิ้มของโคโลนีและโคโลนีที่นำลูปมาตะแล้ว ยกขึ้นเห็นเป็นเส้นใยยืด (ภาพที่ 6) นั้นสามารถคัดเลือกได้ทั้งหมด 5 สายพันธุ์โดยสายพันธุ์ที่คัดเลือกได้สามารถผลิต EPSs ในปริมาณที่สูงคือสามารถผลิตได้ในช่วง 10-14.5 กรัมต่อลิตร ในขณะที่การใช้สี RR ซึ่งเป็น polycationic dye ที่สามารถเข้าจับกับสารประกอบที่มีประจุลบในกลุ่ม polysaccharides ที่เป็นองค์ประกอบหลักของผนังเซลล์ของแบคทีเรีย เช่นชั้น peptidoglycan ในแบคทีเรียแกรมบวกและชั้น lipopolysaccharides ของผนังเซลล์แบคทีเรียแกรมลบ ดังนั้นแบคทีเรียที่สร้าง EPSs สี RR จะไม่สามารถจับกับ polysaccharides ของผนังเซลล์ได้เนื่องจาก EPSs จะป้องกันไม่ให้สีเข้าไปจับกับผนังเซลล์ของแบคทีเรีย จึงทำให้โคโลนีที่ผลิต EPSs ยังคงสีของโคโลนีเดิมของแบคทีเรีนั้นๆซึ่งอาจจะเป็นสีขาวหรือสีน้ำตาล ในทางตรงข้ามสายพันธุ์ที่ไม่ผลิต EPSs โคโลนีที่พบบนอาหารแข็งจะเป็นสีแดงเนื่องจากสีสามารถเข้าไปจับกับผนังเซลล์ที่มีองค์ประกอบที่เป็นประจุลบได้ (Stingele *et al.*, 1996) (ภาพที่ 7) จากการใช้สีในการคัดเลือกพบว่าสามารถแยกแบคทีเรียที่ผลิต EPSs ได้ทั้งหมด 62 สายพันธุ์ซึ่งคิดเป็นร้อยละ 92.54 โดยสายพันธุ์ที่คัดเลือกได้โดยวิธีนี้สามารถผลิต EPSs ได้ในช่วง 0.8-9 กรัมต่อลิตร

เมื่อเปรียบเทียบการใช้ทั้งสองวิธีคือการสังเกตลักษณะเมือกเยิ้มของโคโลนีและการใช้สี RR ในการคัดเลือกแบคทีเรียแลคติกที่ผลิต EPSs พบว่า การใช้สี RR สามารถแยกแบคทีเรียแลคติกที่ผลิต EPSs ได้มากกว่าการใช้การสังเกตลักษณะเมือกเยิ้มเนื่องจากการใช้สีในการคัดเลือกว่า

สามารถคัดเลือกสายพันธุ์ที่ผลิต EPSs ในปริมาณน้อยๆ ได้ซึ่งสังเกตได้จากสายพันธุ์ที่ได้จากการใช้สีจะผลิต EPSs ได้ในปริมาณที่น้อยกว่าเมื่อเทียบกับการใช้วิธีการสังเกตลักษณะเมือกเยิ้มของโคโลนีซึ่งผลิต EPSs ได้ในปริมาณที่สูงกว่า (ตารางที่ 12) ดังนั้นการใช้อาหารที่มีการเติม RR จัดเป็นวิธีที่มีประสิทธิภาพสูงในการแยกคัดเลือกแบคทีเรียที่ผลิต EPSs อีกทั้งการแยกและคัดเลือกสามารถทำได้ไปพร้อมๆ กันโดยไม่ต้องทำการแยกเชื้อออกมาทำให้บริสุทธิ์ก่อนแล้วจึงมาเลี้ยงในอาหารเหลวเพื่อวัดปริมาณการผลิต EPSs ทำให้การแยกและคัดเลือกทำได้อย่างรวดเร็ว ง่าย และประหยัด ได้มีนักวิจัยพยายามศึกษาวิธีอื่นๆ เพื่อนำมาใช้ในการตรวจสอบการผลิต EPSs ที่มีประสิทธิภาพสูงขึ้นเช่น Welman และคณะ (2003) ที่ใช้วิธีการสังเกตคัดเลือกแบคทีเรียที่ผลิต EPSs โดยการสังเกตโคโลนีที่เมือกเยิ้ม ของ *L. delbrueckii* subsp. *bulgaricus* ที่ถูกทำให้กลายพันธุ์ซึ่งพบว่ามีปัญหาในการตรวจสอบสายพันธุ์ที่ผลิต EPSs ได้ในปริมาณน้อย จึงได้เสนอแนะให้มีการใช้การตรวจสอบปริมาณการสร้าง ATP ที่มีความเกี่ยวข้องกับการสร้าง sugar nucleotide ซึ่งเป็นสารตั้งต้นในการที่จะนำไปสร้าง EPSs พบว่ามีประสิทธิภาพมากกว่าการสังเกตลักษณะเยิ้มของโคโลนี แต่อย่างไรก็ตามก็ยังเป็นวิธีที่ยู่ยากกว่าการใช้สีในการตรวจสอบ

ตารางที่ 11 เปรียบเทียบจำนวนสายพันธุ์แบคทีเรียที่ผลิต EPSs ที่แยกได้จากการคัดเลือก โดยใช้การสังเกตลักษณะทางกายภาพ กับการใช้อาหาร MRS ที่เติมสี ruthenium red

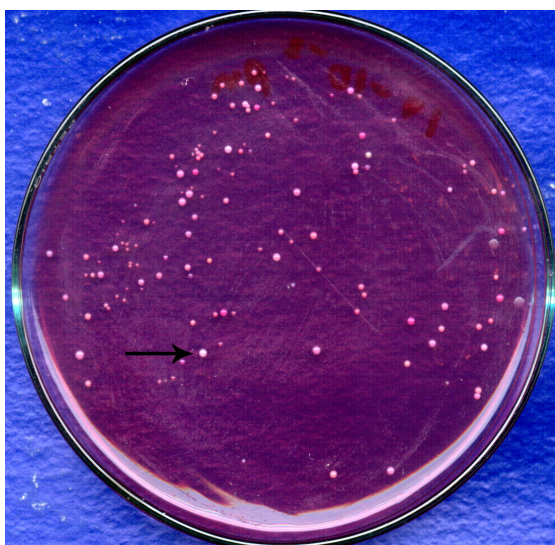
Table 11. Comparison of EPSs producing lactic acid bacteria obtained by slimy appearance and ruthenium red detection in MRS agar.

Methods used for screening	Isolates obtained		EPSs yield (g/L)	Number of isolates (%)			
	No. of isolates	Percentage %		Sucrose	Fructose	Lactose	Glucose
Ruthenium Red (RR) detection	62	92.54	0.8-9	22(32.83)	14(20.89)	12(17.91)	14(20.89)
Slimy appearance detection	5	7.46	10-14.5	5(7.46)	-	-	-



ภาพที่ 6 ลักษณะเมือกของโคโลนีที่มีการสร้าง EPSs บนอาหาร MRS

Figure 6. Slimy appearance of lactic acid bacteria on MRS agar.



ภาพที่ 7 ลักษณะโคโลนีของแบคทีเรียแลคติกที่สร้าง EPSs บนอาหาร MRS ที่เติม RR โดยที่โคโลนีสีขาว (ลูกศรชี้) เป็นโคโลนีที่มีการสร้าง EPSs ในขณะที่โคโลนีสีแดงหรือชมพูเป็นโคโลนีที่ไม่สร้าง EPSs

Figure 7. Colony appearance of LAB on RR-MRS, EPSs producing strains appear as white colony, and non EPSs producing strains appear as red or pink colony.

จากแบคทีเรียที่แยกได้ทั้งหมด 67 สายพันธุ์ได้ทำการคัดเลือกสายพันธุ์ที่ผลิต EPSs ได้สูงมาจำนวน 4 สายพันธุ์โดยทำการคัดเลือกจากสายพันธุ์ที่ผลิต EPSs ได้ในปริมาณสูงจากทั้งหมด 67 สายพันธุ์ซึ่งเป็นตัวแทนของสายพันธุ์แบคทีเรียที่คัดเลือกจากตัวอย่างต่างชนิดกันซึ่งเป็นแบคทีเรียที่ต่างสายพันธุ์กัน ได้แก่ A2, A3, A9 และ 5S4 ซึ่งผลิต EPSs ได้ 14.0, 4.9, 7.6 และ 5.0 กรัมต่อลิตรตามลำดับ (ตารางที่ 12) โดยทั้ง 4 สายพันธุ์เป็นแบคทีเรียที่แยกได้จาก หอยแมลงภู่ ปลาสดหิน ปลาแป้น และปลาหู ตามลำดับในอาหาร MRS ที่เติมน้ำตาลซูโครสในสถานะไม่มีอากาศ เมื่อวิเคราะห์และเปรียบเทียบลำดับเบสของ 16S rDNA โดยใช้โปรแกรม BLAST เทียบกับฐานข้อมูล NCBI (<http://www.ncbi.nlm.nih.gov>) เมื่อวันที่ 17 มกราคม พ.ศ. 2550 พบว่า ลำดับเบสของแบคทีเรียสายพันธุ์ A2, A9, A3 และ 5S4 มีความเหมือนกับ *Weissella cibaria* Uga49-1 (ภาพที่ 8) *Weissella confusa* Inje LMS-338 (ภาพที่ 9) *Lactobacillus plantarum* JCM 8348 (ภาพที่ 10) และ *Pediococcus pentosaceus* SL4 (ภาพที่ 11) ตามลำดับ

ตารางที่ 12 ผลการจัดจำแนกสายพันธุ์ของแบคทีเรียที่คัดเลือกได้และปริมาณ EPSs ที่ผลิตได้ในอาหารเหลว MRS ที่มีน้ำตาลซูโครสเป็นแหล่งคาร์บอน

Table 12. Identification of selected isolates and the yield of EPSs production in MRS broth contained sucrose as a carbon source.

Bacteria	% Identity	EPSs production (g/l)
<i>Weissella cibaria</i> A2	99 (1430/1433)	14.0
<i>Lactobacillus plantarum</i> A3	96 (521/541)	4.9
<i>Weissella confusa</i> A9	100 (1387/1387)	7.6
<i>Pediococcus pentosaceus</i> 5S4	98 (545/551)	5.0

จากผลการจัดจำแนกแบคทีเรียสายพันธุ์ที่ผลิต EPSs พบว่าเป็นครั้งแรกที่มีการคัดแยกแบคทีเรีย ทั้ง 4 สายพันธุ์ที่มีคุณสมบัติในการผลิต EPSs จากทางเดินอาหารของสัตว์ทะเล ทั้งนี้เนื่องจากมีรายงานเกี่ยวกับแบคทีเรียสายพันธุ์ดังกล่าวเกี่ยวกับความสามารถในการผลิต EPSs มาแล้วแต่เป็นแบคทีเรียสายพันธุ์ที่แยกได้จาก Sourdough

Query	903	CATTAAGCACTCCGCCTGGGGAGTACGACCGCAAGGTTGAAACTCAAAGGAATTGACGGG	962
Sbjct	901	CATTAAGCACTCCGCCTGGGGAGTACGACCGCAAGGTTGAAACTCAAAGGAATTGACGGG	960
Query	963	GACCCGCACAAGCGGTGGAGCATGTGGTTTAATTGGAAGCAACGCGAAGAACCTTACCAG	1022
Sbjct	961	GACCCGCACAAGCGGTGGAGCATGTGGTTTAATTGGAAGCAACGCGAAGAACCTTACCAG	1020
Query	1023	GTCTTGACATCCCTTGACAACCTCCAGAGATGGAGCGTTCCTTCGGGGACAAGGTGACAG	1082
Sbjct	1021	GTCTTGACATCCCTTGACAACCTCCAGAGATGGAGCGTTCCTTCGGGGACAAGGTGACAG	1080
Query	1083	GTGGTGCATGGTTGTCGTCAGCTCGTGTGAGATGTTGGGTTAAGTCCCAGCAACGAGC	1142
Sbjct	1081	GTGGTGCATGGTTGTCGTCAGCTCGTGTGAGATGTTGGGTTAAGTCCCAGCAACGAGC	1140
Query	1143	GCAACCCTTATTACTAGTTGCCAGCATTTAGTTGGGCACTCTAGTGAGACTGCCGGTGAC	1202
Sbjct	1141	GCAACCCTTATTACTAGTTGCCAGCATTTAGTTGGGCACTCTAGTGAGACTGCCGGTGAC	1200
Query	1203	AAAACCGGAGGAAGGTGGGGATGACGTCAAATCATCATGCCCTTATGACCTGGGCTACAC	1262
Sbjct	1201	AAAACCGGAGGAAGGTGGGGATGACGTCAAATCATCATGCCCTTATGACCTGGGCTACAC	1260
Query	1263	ACGTGCTACAATGGCGTATACAAACGAGTTGCCAACCCGCGAGGGTGAGCTAATCTCTTAA	1322
Sbjct	1261	ACGTGCTACAATGGCGTATACAAACGAGTTGCCAACCCGCGAGGGTGAGCTAATCTCTTAA	1320
Query	1323	AGTACGTCTCAGTTCGGATTGTAGGCTGCAACTCGCCTACATGAAAGTCGGAATCGCTAGT	1382
Sbjct	1321	AGTACGTCTCAGTTCGGATTGTAGGCTGCAACTCGCCTACATGAAAGTCGGAATCGCTAGT	1380
Query	1383	AATCGCGGATCAGCACGCCGCGGTGAATACGTTCCCGGGTCTTGTACACACCG	1435
Sbjct	1381	AATCGCGGATCAGCACGCCGCGGTGAATACGTTCCCGGGTCTTGTACACACCG	1433

ภาพที่ 8 (ต่อ)

Figure 8. (Cont.)

Score = 2750 bits (1387), Expect = 0.0
 Identities = 1387/1387 (100%), Gaps = 0/1387 (0%)
 Strand=Plus/Plus

Query	1	TGGCTCAGGATGAACGCTGGCGGCGTGCCTAATACATGCAAGTCGAACGCCTTGTGGTTC	60
Sbjct	13	TGGCTCAGGATGAACGCTGGCGGCGTGCCTAATACATGCAAGTCGAACGCCTTGTGGTTC	72
Query	61	AACTGATTTGAAGAGCTTGCTCAGATATGACGATGGACATTGCAAAGAGTGGCGAACGGG	120
Sbjct	73	AACTGATTTGAAGAGCTTGCTCAGATATGACGATGGACATTGCAAAGAGTGGCGAACGGG	132
Query	121	TGAGTAACACGCTGGGAAACCTACCTCTTAGCAGGGGATAACATTTGGAAAACAGATGCTAA	180
Sbjct	133	TGAGTAACACGCTGGGAAACCTACCTCTTAGCAGGGGATAACATTTGGAAAACAGATGCTAA	192
Query	181	TACCGTATAACAATGACAACCGCATGTTGTTATTTAAAAAGATGGTTCTGCTATCACTAA	240
Sbjct	193	TACCGTATAACAATGACAACCGCATGTTGTTATTTAAAAAGATGGTTCTGCTATCACTAA	252
Query	241	GAGATGGTCCCGCGGTGCATTAGCTAGTTGGTAAGGTAATGGCTTACCAAGGCGATGATG	300
Sbjct	253	GAGATGGTCCCGCGGTGCATTAGCTAGTTGGTAAGGTAATGGCTTACCAAGGCGATGATG	312
Query	301	CATAGCCGAGTTGAGAGACTGATCGGCCACAATGGGACTGAGACACGGCCCATACTCCTA	360
Sbjct	313	CATAGCCGAGTTGAGAGACTGATCGGCCACAATGGGACTGAGACACGGCCCATACTCCTA	372
Query	361	CGGGAGGCAGCAGTAGGGAATCTTCCACAATGGGCGAAAAGCCTGATGGAGCAACGCCGCG	420
Sbjct	373	CGGGAGGCAGCAGTAGGGAATCTTCCACAATGGGCGAAAAGCCTGATGGAGCAACGCCGCG	432
Query	421	TGTGTGATGAAGGGTTTCGGCTCGTAAAACACTGTTGTAAGAGAAGAATGACATTGAGAG	480
Sbjct	433	TGTGTGATGAAGGGTTTCGGCTCGTAAAACACTGTTGTAAGAGAAGAATGACATTGAGAG	492
Query	481	TAAGTGTCAATGTGTGACGGTATCTTACCAGAAAAGGAACGGCTAAAATACGTGCCAGCAG	540
Sbjct	493	TAAGTGTCAATGTGTGACGGTATCTTACCAGAAAAGGAACGGCTAAAATACGTGCCAGCAG	552
Query	541	CCGCGGTAATACGTATGTTCCAAGCGTTATCCGGATTTATTGGGCGTAAAGCGAGCGCAG	600
Sbjct	553	CCGCGGTAATACGTATGTTCCAAGCGTTATCCGGATTTATTGGGCGTAAAGCGAGCGCAG	612
Query	601	ACGGTTATTTAAGTCTGAAAGTAAAAGCCCTCAGCTCAACTGAGGAATTGCTTTGGAAAAC	660
Sbjct	613	ACGGTTATTTAAGTCTGAAAGTAAAAGCCCTCAGCTCAACTGAGGAATTGCTTTGGAAAAC	672
Query	661	GGATGACTTGAGTGCAGTAGAGGAAAAGTGGAACTCCATGTGTAGCGGTGAAATGCGTAGA	720
Sbjct	673	GGATGACTTGAGTGCAGTAGAGGAAAAGTGGAACTCCATGTGTAGCGGTGAAATGCGTAGA	732

ภาพที่ 9 เปรียบเทียบลำดับเบสของ 16s rDNA ของแบคทีเรียสายพันธุ์ A9 กับ *Weissella confusa* Inje LMS-338

Figure 9. Comparison of 16s rDNA nucleotides sequence of strain A9 with *Weissella confusa* Inje LMS-338.

Query	721	TATATGGAAGAACACCAGTGGCGAAGGCGGCTTTCTGGACTGTAACGTGACGTTGAGGCTC	780
Sbjct	733	TATATGGAAGAACACCAGTGGCGAAGGCGGCTTTCTGGACTGTAACGTGACGTTGAGGCTC	792
Query	781	GAAAGTGTGGGTAGCAAACAGGATTAGATACCCTGGTAGTCCACACCGTAAACGATGAGT	840
Sbjct	793	GAAAGTGTGGGTAGCAAACAGGATTAGATACCCTGGTAGTCCACACCGTAAACGATGAGT	852
Query	841	GCTAGGTGTTTGAGGGTTTCCGCCCTTAAGTGCCGCAGCTAACGCATTAAGCACTCCGCC	900
Sbjct	853	GCTAGGTGTTTGAGGGTTTCCGCCCTTAAGTGCCGCAGCTAACGCATTAAGCACTCCGCC	912
Query	901	TGGGGAGTACGACCCGCAAGGTTGAAACTCAAAGGAATTGACGGGGACCCGCACAAGCGGT	960
Sbjct	913	TGGGGAGTACGACCCGCAAGGTTGAAACTCAAAGGAATTGACGGGGACCCGCACAAGCGGT	972
Query	961	GGAGCATGTGGTTTAATTTCGAAGCAACGCGAAGAACCCTTACCAGGCTTGACATCCCTTG	1020
Sbjct	973	GGAGCATGTGGTTTAATTTCGAAGCAACGCGAAGAACCCTTACCAGGCTTGACATCCCTTG	1032
Query	1021	ACAACTCCAGAGATGGAGCGTTCCTTCGGGGACAAGGTGACAGGTGGTGCATGGTTGTC	1080
Sbjct	1033	ACAACTCCAGAGATGGAGCGTTCCTTCGGGGACAAGGTGACAGGTGGTGCATGGTTGTC	1092
Query	1081	GTCAGCTCGTGTCTGAGATGTTGGGTTAAGTCCCAGCAACGAGCGCAACCCTTATTACTA	1140
Sbjct	1093	GTCAGCTCGTGTCTGAGATGTTGGGTTAAGTCCCAGCAACGAGCGCAACCCTTATTACTA	1152
Query	1141	GTTGCCAGCATTCAAGTTGGGCACTCTAGTGAGACTGCCGGTGACAAAACCGGAGGAAGGTG	1200
Sbjct	1153	GTTGCCAGCATTCAAGTTGGGCACTCTAGTGAGACTGCCGGTGACAAAACCGGAGGAAGGTG	1212
Query	1201	GGGATGACGTCAAATCATCATGCCCTTATGACCTGGGCTACACACGTGCTACAATGGCG	1260
Sbjct	1213	GGGATGACGTCAAATCATCATGCCCTTATGACCTGGGCTACACACGTGCTACAATGGCG	1272
Query	1261	TATACAACGAGTTGCCAACCCGCGAGGGTGAGCTAATCTCTTAAAGTACGTCTCAGTTTCG	1320
Sbjct	1273	TATACAACGAGTTGCCAACCCGCGAGGGTGAGCTAATCTCTTAAAGTACGTCTCAGTTTCG	1332
Query	1321	GATTGTAGGCTGCAACTCGCCTACATGAAGTCGGAATCGCTAGTAATCGCGGATCAGCAC	1380
Sbjct	1333	GATTGTAGGCTGCAACTCGCCTACATGAAGTCGGAATCGCTAGTAATCGCGGATCAGCAC	1392
Query	1381	GCCGCGG 1387	
Sbjct	1393	GCCGCGG 1399	

ภาพที่ 9 (ต่อ)

Figure 9. (Cont.)

```

Score = 878 bits (443), Expect = 0.0
Identities = 521/541 (96%), Gaps = 6/541 (1%)
Strand=Plus/Plus

Query 1 GATTGGTGCTTGCATCATGATTTACATTTGAGTGAGTGGCGAACTGGTGAGTAACACGTG 60
      |
Sbjct 24 GATTGGTGCTTGCATCATGATTTACATTTGAGTGAGTGGCGAACTGGTGAGTAACACGTG 83

Query 61 GGAAACCTGCCAGAAAGCGGGGATAAACACCTGGAAACAGATGCTAATACCGCATAACAA 120
      |
Sbjct 84 GGAAACCTGCCAGAAAGCGGGGATAAACACCTGGAAACAGATGCTAATACCGCATAACAA 143

Query 121 CTTGGACCGCATGGTCCGAGCTTGAAAAGATGGCTTCGGCTATCACTTTTGGATGGTCCCG 180
      |
Sbjct 144 CTTGGACCGCATGGTCCGAGCTTGAAAAGATGGCTTCGGCTATCACTTTTGGATGGTCCCG 203

Query 181 CGGCGTATTAGCTAGATGGTGGGGTAACGGCTCACCATGGCAATGATACGTAGCCGACCT 240
      |
Sbjct 204 CGGCGTATTAGCTAGATGGTGGGGTAACGGCTCACCATGGCAATGATACGTAGCCGACCT 263

Query 241 GAGAGGGTAATCGGCCACATTGGGACTGAGACACGGCCCAAACCTCCTACGGGAGGCAGCA 300
      |
Sbjct 264 GAGAGGGTAATCGGCCACATTGGGACTGAGACACGGCCCAAACCTCCTACGGGAGGCAGCA 323

Query 301 GTAGGGAATCTTCCACAATGGACGAAAAGTCTGATGGAGCACCGCCGCGTGAGTGAAGAAG 360
      |
Sbjct 324 GTAGGGAATCTTCCACAATGGACGAAAAGTCTGATGGAGCAACCGCCGCGTGAGTGAAGAAG 383

Query 361 GGTTCGGCTCGT-AAACTCTGTTGTTAAAGAA-AACATATCTGAAAGTAACTGTTTCAGG 418
      |
Sbjct 384 GGTTCGGCTCGTAAAACTCTGTTGTTAAAGAAAGAACATATCTGAGAGTAACTGTTTCAGG 443

Query 419 TATTGACGGTATTTAACCAGAAAAGCC-CCGNTTACTACNTGCCANCA-CCCCGGTAATAC 476
      |
Sbjct 444 TATTGACGGTATTTAACCAGAAAAGCCACGGCTAACTACGTGCCAGCAGCCGCGGTAATAC 503

Query 477 NTAGGTGGCAAAGCGTTTTCCGGATTT-TTGGGNGTNAACCGAGCCCAGGCGNTTTTTTA 535
      |
Sbjct 504 GTAGGTGGCAAAGCGTTGTCCGGATTTATTGGGCGT-AAAGCGAGCGCAGGCGGTTTTTA 562

Query 536 A 536
      |
Sbjct 563 A 563

```

ภาพที่ 10 เปรียบเทียบลำดับเบสของ 16s rDNA ของแบคทีเรียสายพันธุ์ A3 กับ

Lactobacillus plantarum CM 8348

Figure 10. Comparison of 16s rDNA nucleotides sequence of strain A3 with

Lactobacillus plantarum CM 8348.

Score = 1025 bits (517), Expect = 0.0
 Identities = 545/551 (98%), Gaps = 3/551 (0%)
 Strand=Plus/Plus

```

Query   3   ATTGATTATGACGTA CTTGT-CTGATTGAGATTTTAAACACGAAAGTGAGTGGCGAACGGGT   61
          |||
Sbjct  73   ATTGATTATGACGTA CTTGTACTGATTGAGATTTTAAACACGAAAGTGAGTGGCGAACGGGT   132

Query   62   GAGTAACACGTGGGTAACTGCCCAGAAGCAGGGGATAAACACCTGGAAACAGATGCTAAT   121
          |||
Sbjct  133  GAGTAACACGTGGGTAACTGCCCAGAAGCAGGGGATAAACACCTGGAAACAGATGCTAAT   192

Query   122  ACCGTATAACAGAGAAAACCGCATGGTTTTCTTTTAAAAGATGGCTCTGCTATCACTTCT   181
          |||
Sbjct  193  ACCGTATAACAGAGAAAACCGCATGGTTTTCTTTTAAAAGATGGCTCTGCTATCACTTCT   252

Query   182  GGATGGACCCGCGGCGTATTAGCTAGTTGGTGAGGCAAAGGCTCACCAAGGCAGTGATAC   241
          |||
Sbjct  253  GGATGGACCCGCGGCGTATTAGCTAGTTGGTGAGGCAAAGGCTCACCAAGGCAGTGATAC   312

Query   242  GTAGCCGACCTGAGAGGGTAATCGGCCACATTGGGACTGAGACACGGCCCAGACTCCTAC   301
          |||
Sbjct  313  GTAGCCGACCTGAGAGGGTAATCGGCCACATTGGGACTGAGACACGGCCCAGACTCCTAC   372

Query   302  GGGAGGCAGCAGTAGGGAATCTTCCACAATGGACGCAAGTCTGATGGAGCAACGCCGCGT   361
          |||
Sbjct  373  GGGAGGCAGCAGTAGGGAATCTTCCCTCAATGGACGCAAGTCTGATGGAGCAACGCCGCGT   432

Query   362  GAGTGAAGAAGGGTTTCGGCTCGTAAAGCTCTGTTGTTAAAGAAGAACGTGGGTAAGAGT   421
          |||
Sbjct  433  GAGTGAAGAAGGGTTTCGGCTCGTAAAGCTCTGTTGTTAAAGAAGAACGTGGGTAAGAGT   492

Query   422  AACTGTTTACCCAGTGACGGTATTTAACCAGAAAGCCACGGCTAACTACGTGCCAGCAGC   481
          |||
Sbjct  493  AACTGTTTACCCAGTGACGGTATTTAACCAGAAAGCCACGGCTAACTACGTGCCAGCAGC   552

Query   482  CGCGGGTAATACGTAGGTGGCANGCGTTATCCGGATTTNTTGGGCGT-AAAGCGAGCGCAG   540
          |||
Sbjct  553  CGC-GGTAATACGTAGGTGGCAAGCGTTATCCGGATTTATTGGGCGTAAAGCGAGCGCAG   611

Query   541  GCGGTCTTTTA   551
          |||
Sbjct  612  GCGGTCTTTTA   622
  
```

ภาพที่ 11 เปรียบเทียบลำดับเบสของ 16s rDNA ของแบคทีเรียสายพันธุ์ 5S4 กับ

Pediococcus pentosaceus SL4

Figure 11. Comparison of 16s rDNA nucleotides sequence of strain 5S4 with

Pediococcus pentosaceus SL4.

จากผลการจัดจำแนกแบคทีเรียที่คัดเลือกได้ซึ่งมีความสามารถในการผลิต EPSs พบว่ามีรายงานว่าสามารถคัดเลือกแบคทีเรียแลคติกสายพันธุ์ *W. cibaria*, *L. plantarum* และ *P. pentosaceus* จาก Sourdough ซึ่งเป็นสายพันธุ์ที่สามารถผลิต EPSs ชนิด fructan และ glucan ในอาหาร MRS ที่เติมน้ำตาลซูโครสเป็นแหล่งคาร์บอนเท่านั้น โดย EPSs ที่ผลิตได้นั้นมีน้ำหนักโมเลกุล 10^4 ดาลตัน และผลิต EPSs ได้ในช่วง 5.54-7.88 กรัมต่อลิตรสำหรับ *W. cibaria* ซึ่งผลิตได้น้อยกว่าสายพันธุ์ที่คัดเลือกได้ในการทดลองครั้งนี้ ในขณะที่ *L. plantarum* และ *P. pentosaceus* สามารถผลิต EPSs ได้สูงกว่าสายพันธุ์ที่คัดเลือกโดยผลิตได้ 7.39 และ 6.85 กรัมต่อลิตรตามลำดับ (Cagno *et al.*, 2006) นอกจากนี้ยังมีรายงานเกี่ยวกับความสามารถในการผลิต EPSs โดย *L. plantarum* ว่าสามารถผลิต EPSs ชนิด Heteropolysacchrides ได้ (Tallon *et al.*, 2003) นอกจากนี้ Tieking และคณะ (2003) ได้รายงานว่าสามารถคัดเลือกแบคทีเรียแลคติกสายพันธุ์ *Weissella confusa* จาก Sourdough โดยเป็นแบคทีเรียที่สามารถผลิต EPSs ชนิด fructan ในอาหาร MRS ที่มีน้ำตาลซูโครสเป็นแหล่งคาร์บอน

3.2 คุณสมบัติทางเคมีของ EPSs

3.2.1 น้ำหนักโมเลกุล

เมื่อทำการวิเคราะห์น้ำหนักโมเลกุลเฉลี่ยของ EPSs ที่ผลิตโดยสายพันธุ์โดยวิธี Gel-Permeation Chromatography (GPC) พบว่าน้ำหนักโมเลกุลของ EPSs ที่ผลิตโดย *W. cibaria* A2 มีน้ำหนักโมเลกุลเฉลี่ยที่มากที่สุดคือ 6120 ดาลตัน ในขณะที่ EPSs ที่ผลิตโดย *L. plantarum* A3 มีน้ำหนักโมเลกุลที่น้อยที่สุดคือ 1515 ดาลตัน ดังแสดงในตารางที่ 13 โดยน้ำหนักโมเลกุลที่ได้นั้นเป็นน้ำหนักโมเลกุลเฉลี่ยของ EPSs ซึ่งประกอบไปด้วยหลายส่วนที่มีน้ำหนักโมเลกุลต่างกันและเป็นส่วนที่ละลายได้เท่านั้นเมื่อพิจารณาถึงน้ำหนักโมเลกุลเฉลี่ยที่ได้นั้นมีค่าน้อยเมื่อเทียบกับการศึกษาก่อนหน้านี้ที่รายงานว่าน้ำหนักโมเลกุลของ EPSs ที่ผลิตโดยแบคทีเรียแลคติกมีค่าอยู่ในช่วง 10^4 - 10^6 ดาลตัน (Cerning, 1990) ทั้งนี้เนื่อง EPSs ที่ได้เป็นพอลิเมอร์ชนิดที่มีน้ำหนักโมเลกุลต่ำนอกจากนี้ในการวิเคราะห์น้ำหนักโมเลกุลนั้นสามารถทำได้กับ EPSs ที่ละลายได้เท่านั้น

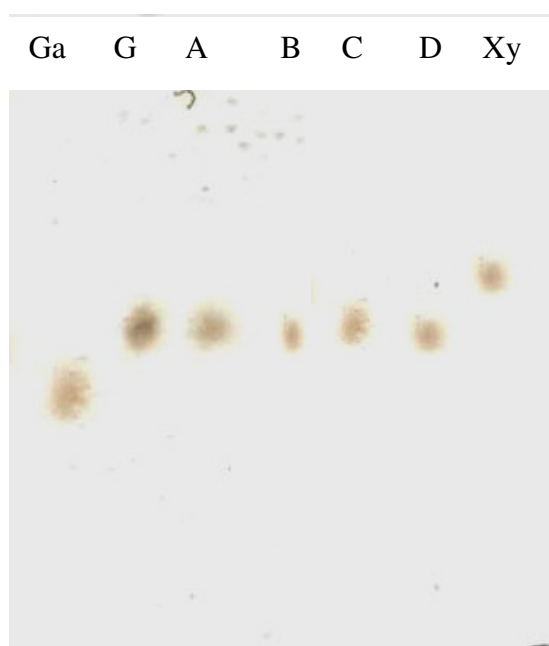
3.2.2 ชนิดของน้ำตาลที่เป็นองค์ประกอบ

เมื่อวิเคราะห์ชนิดของน้ำตาลที่เป็นองค์ประกอบใน EPSs ที่ผ่านการย่อยด้วยวิธี Thin layer chromatography (TLC) พบว่า EPSs ที่ผลิตโดย *W. cibaria* A2, *L. plantarum* A3, *W.confusa* A9, และ *P. pentosaceus* 5S4 มีค่า Retention factor (R_f) เท่ากับ 0.50, 0.50, 0.48 และ 0.48 ตามลำดับ ในขณะที่เมื่อทดสอบกับน้ำตาลกลูโคส กาแลคโตส และไซโลส มีค่า R_f เท่ากับ 0.48, 0.4 และ 0.67 ตามลำดับ จึงสรุปได้ว่า EPSs มีน้ำตาลกลูโคสเป็นองค์ประกอบเพียงชนิดเดียว (ภาพที่ 12)

ตารางที่ 13 น้ำหนักโมเลกุลเฉลี่ยของ EPSs ที่ผลิตโดยแบคทีเรียแลคติก

Table 13. Average molecular weight of EPSs produced by lactic acid bacteria.

EPSs sources	Average molecular weight (Da)
<i>Weissella cibaria</i> A2	6120
<i>Weissella confusa</i> A9	5899
<i>Lactobacillus plantarum</i> A3	1515
<i>Pediococcus pentosaceus</i> 5S4	5577



ภาพที่ 12. การวิเคราะห์ชนิดของน้ำตาลที่เป็นองค์ประกอบของ EPSs ที่ผลิตโดย *W. cibaria* A2 (A), *W. confusa* A9 (B), *L. plantarum* A3 (C), *P. pentosaceus* 5S4 (D) โดยใช้ น้ำตาล กลูโคส (G), กาแลคโตส (Ga) และ ไซโลส (Xy) ในการเปรียบเทียบ

Figure 12. TLC identification of hydrolysis products obtained from EPSs produced by *W. cibaria* A2 (A), *W. confusa* A9 (B), *L. plantarum* A3 (C), *P. pentosaceus* 5S4 (D) used glucose (G), galactose (Ga), and Xylose (Xy) as reference sugars.

3.3 กิจกรรมการยับยั้งจุลินทรีย์

เมื่อนำ EPSs ที่ความเข้มข้นร้อยละ 5, 2.5, 1.25 และ 0.625 น้ำหนักต่อปริมาตร มาทดสอบกิจกรรมการยับยั้งจุลินทรีย์ก่อโรค ได้แก่ *Salmonella* sp., *E. coli* O157:H7, *Stap. aureus*, *A. fumigatus* และ *C. albicans* พบว่าไม่มีกิจกรรมการยับยั้งจุลินทรีย์ทุกชนิดที่ความเข้มข้น 50 มิลลิกรัมต่อมิลลิลิตร (ตารางที่ 14) โดยก่อนหน้านี้ไม่พบการรายงานเกี่ยวกับกิจกรรมการยับยั้งจุลินทรีย์ของ EPSs จากแบคทีเรียแลคติก เมื่อทดสอบกับแบคทีเรียโดยตรง แต่จะมีรายงานเกี่ยวกับบทบาทของ EPSs ในการกระตุ้นภูมิคุ้มกันของร่างกายในการต้านแบคทีเรียก่อโรคเมื่อมีการติดเชื้อเกิดขึ้น (Law *et. al.*, 2001)

ตารางที่ 14 ค่า Minimal inhibition concentration (MIC) ของ EPSs ที่ผลิตโดย *W. cibaria* A2, *W. confusa* A9, *L. plantarum* A3 และ *P. pentosaceus* 5S4 กับจุลินทรีย์ก่อโรค

Table 14. Minimal inhibition concentration (MIC) values (mg/ml) of EPSs produced by *W. cibaria* A2, *W. confusa* A9, *L. plantarum* A3 and *P. pentosaceus* 5S4 against pathogenic microorganisms.

Pathogenic microorganisms	EPSs producers			
	<i>W. cibaria</i> A2	<i>W. confusa</i> A9	<i>L. plantarum</i> A3	<i>P. pentosaceus</i> 5S4
<i>Stap. aureus</i>	>50.0	>50.0	>50.0	>50.0
<i>Salmonella</i> sp.	>50.0	>50.0	>50.0	>50.0
<i>E.coli</i> O157 : H7 DMST 12743	>50.0	>50.0	>50.0	>50.0
<i>C. albicans</i>	>50.0	>50.0	>50.0	>50.0
<i>A. fumigatus</i> TISTR 3180	>50.0	>50.0	>50.0	>50.0

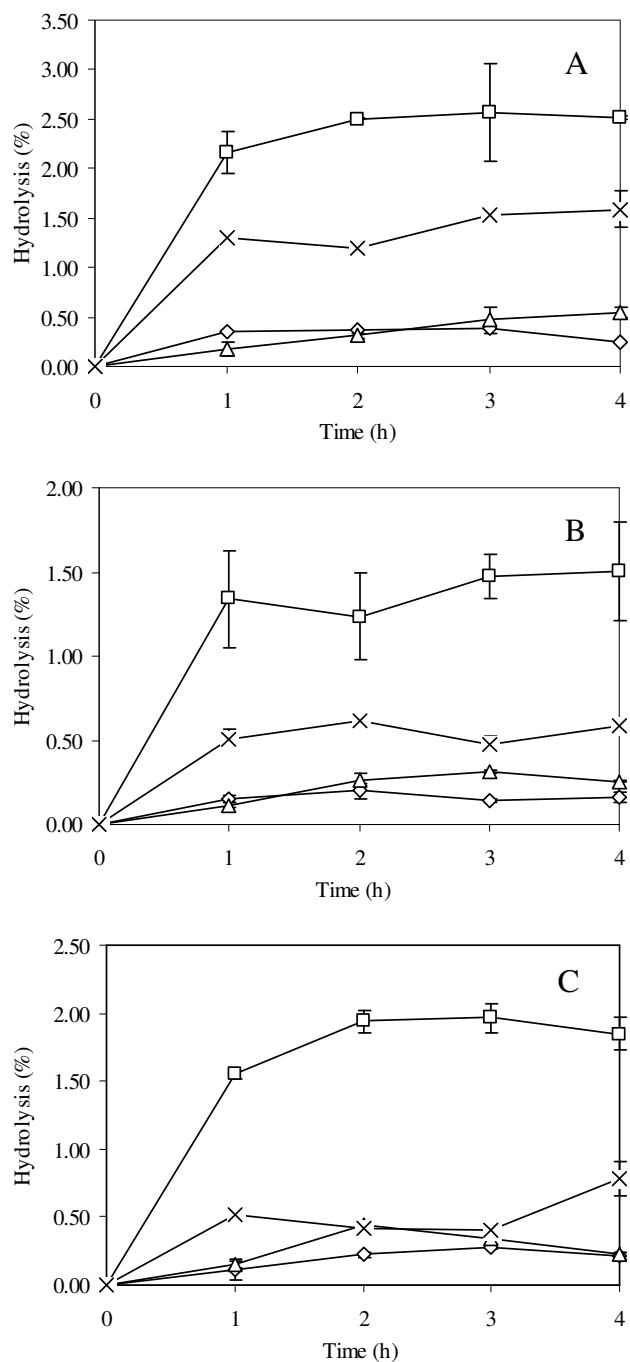
3.4 การทดสอบคุณสมบัติความเป็นฟรีไบโอติกของ EPSs

3.4.1 การทนต่อการย่อยในสภาวะที่เป็นกรด

เมื่อทดสอบการทนต่อการย่อยของ EPSs ในสภาวะความเป็นกรดที่ระดับพีเอชต่างๆคือ 1, 2 และ 3 พบว่า ที่พีเอช 1 EPSs ที่ผลิตจาก *W. confusa* A9 ถูกย่อยสลายสูงสุดโดยเมื่อครบเวลา 4 ชั่วโมง คือ ถูกย่อยร้อยละ 2.5 ของปริมาณ EPSs เริ่มต้น นอกจากนี้ยังเป็น EPSs ที่ถูกย่อยสูงสุดที่พีเอช 2 และ 3

เมื่อเปรียบเทียบกับ EPSs ชนิดอื่น ซึ่งแนวโน้มในการข่อยนั้นเพิ่มขึ้นใน 1 ชั่วโมงแรก และคงที่เมื่อข่อยเป็นเวลา 2, 3 และ 4 ชั่วโมงในขณะที่ EPSs ที่ผลิตโดย *W. cibaria* A2 ทนต่อสภาวะความเป็นกรดสูงได้ดีที่สุดโดยถูกข่อยที่พีเอช 1 เวลา 4 ชั่วโมงเท่ากับร้อยละ 0.351 ± 0.70 ส่วน EPSs ที่ผลิตโดย *P. pentosaceus* 5S4 และ *L. plantarum* A3 นั้นถูกข่อยร้อยละ 0.547 ± 0.50 และ 1.591 ± 0.179 ตามลำดับที่เวลา 4 ชั่วโมง (ภาพที่ 13) ดังนั้น EPSs จากแบคทีเรียทั้ง 4 สายพันธุ์สามารถทนต่อการข่อยโดยกรดที่พีเอช 1 ได้สูงโดยมีส่วนที่ไม่ถูกข่อยถึงร้อยละ 99.65, 97.48, 99.45 และ 98.41 สำหรับ EPSs ที่ผลิตโดย *W. cibaria* A2, *W. confusa* A9, *L. plantarum* A3 และ *P. pentosaceus* 5S4 ตามลำดับ

จากการทดสอบความสามารถในการทนต่อการข่อยในสภาวะที่เป็นกรดสูงโดยการใช้ไฮโดรคลอริกบัฟเฟอร์ (HCl buffer) ระดับพีเอช 1, 2 และ 3 เป็นเวลา 4 ชั่วโมงพบว่า EPSs ทั้ง 4 ชนิดที่นำมาทดสอบมีความสามารถทนต่อสภาวะดังกล่าวได้ดีมากและมีบางส่วนเท่านั้นที่ถูกข่อยเมื่อพิจารณาร้อยละของ EPSs ที่ถูกข่อยเปรียบเทียบกับ EPSs ชนิดอื่นที่มีการทดสอบมาแล้วพบว่าสามารถทนการข่อยในสภาวะที่เป็นกรดสูงได้เช่นเดียวกับ EPSs ที่ถูกผลิตโดยแบคทีเรียสายพันธุ์ *L. sanfranciscensis* TMW1.392 ซึ่งได้ทดสอบความสามารถในการทนต่อสภาวะความเป็นกรดสูงในกระเพาะที่พีเอช 2 อุณหภูมิ 37 องศาเซลเซียส เป็นเวลา 4 ชั่วโมงพบว่ามีเพียงร้อยละ 3 เท่านั้นที่ถูกข่อย (Korakli, 2002) เช่นเดียวกับ EPSs ที่ผลิตจาก *L. sanfranciscensis* LTH 2590 ที่มีความสามารถในการทนต่อการข่อยในกระเพาะอาหารเช่นกัน (Crocianic *et al.*, 1994 อ้างโดย Korakli *et al.*, 2002) นอกจากนี้ได้มีการศึกษาความสามารถในการทนต่อการข่อยของ levan ที่ได้จากการสังเคราะห์จากน้ำตาลซูโครสโดยใช้ น้ำย่อยจากกระเพาะ (gastric juice) พบว่าสารดังกล่าวจะถูกข่อยไปบางส่วนเท่านั้น โดยที่ผลจากการถูกข่อยโดยกรดทำให้น้ำหนักโมเลกุลของ levan ลดลง (Yamamoto *et al.*, 1999) และจากการทดสอบกับ โอลิโกฟรุคโตส (oligofructose) และ อินนูลิน (inulin) พบว่าถูกข่อยไปบางส่วนเท่านั้นซึ่งมีส่วนที่เหลือไปยังลำไส้ใหญ่ถึงร้อยละ 85-89 และเมื่อเปรียบเทียบการทนต่อการข่อยในสภาวะเป็นกรดสูงกับพรีไบโอติกชนิดอื่นที่ได้กล่าวมาข้างต้นพบว่า EPSs ที่ใช้ในการทดลองครั้งนี้มีความสามารถทนได้ดีกว่าพรีไบโอติกดังกล่าวซึ่งแสดงให้เห็นว่า EPSs ที่ได้มีคุณสมบัติเบื้องต้นในการเป็นพรีไบโอติกที่ดี



ภาพที่ 13 การย่อยของ EPSs ที่ผลิตโดย (Δ) *W. confusa* A9, (□) *L. plantarum* A3 (◇), *W. cibaria* A2 และ (×) *P. pentosaceus* 5S4 ด้วยบัฟเฟอร์ของกรดเกลือ ที่พีเอช 1 (A), 2 (B) และ 3 (C)
 Figure 13. Hydrolysis of EPSs produced by (Δ) *W. confusa* A9, (□) *L. plantarum* A3, (◇) *W. cibaria* A2 and (×) *P. pentosaceus* 5S4 in HCl buffer pH of 1 (A), 2 (B) และ 3 (C).

3.4.2 การทนต่อการย่อยโดยเอนไซม์ human pancreatic α -amylase

นอกจากคุณสมบัติในการทนต่อการย่อยจากสภาวะความเป็นกรดในกระเพาะอาหารแล้ว พอลิเมอร์ที่จัดได้ว่ามีคุณสมบัติเป็นพรีไบโอติกยังต้องทนต่อการย่อยโดยเอนไซม์ α -amylase ซึ่งเป็นเอนไซม์ที่มีความจำเพาะกับพอลิเมอร์ที่ประกอบด้วยหน่วยย่อยที่ต่อกันด้วยพันธะ α -1,4 ในลำไส้เล็ก ดังนั้นจึงทดสอบการทนต่อการย่อยของ EPSs ด้วยเอนไซม์ human pancreatic α -amylase โดยการนำ EPSs ที่ผ่านการย่อยด้วยกรดเกลือ ที่พีเอช 1 เวลา 4 ชั่วโมง มาย่อยต่อด้วยเอนไซม์ human pancreatic α -amylase ความเข้มข้น 1 ยูนิต์ต่อมิลลิลิตร เป็นเวลา 6 ชั่วโมง พบว่า EPSs ที่ผลิตจาก *W. cibaria* A2, *L. plantarum* A3 และ *P. pentosaceus* 5S4 มีร้อยละที่ถูกย่อยโดยเอนไซม์ เท่ากับ 0.170 0.144 และ 0.027 ตามลำดับ ในขณะที่ EPSs ที่ผลิตจาก *W. confusa* A9 ไม่ถูกย่อยเลย โดย α -amylase (ตารางที่ 15) เช่นเดียวกันกับการทดลองของ Yamamoto และคณะ (1999) ที่ทดสอบใช้น้ำย่อยจากตับอ่อนซึ่งประกอบไปด้วยเอนไซม์ α -amylase มาย่อย levan แล้วพบว่าไม่มีการย่อยเกิดขึ้นเนื่องจากพันธะที่เชื่อมภายในโมเลกุลของพอลิเมอร์ดังกล่าวเป็น β -2,6 ซึ่งไม่มีความจำเพาะกับเอนไซม์ดังกล่าว และเมื่อเปรียบเทียบความสามารถในการทนต่อการย่อยโดยกรดและเอนไซม์ของ EPSs กับสารสกัดจากพืชซึ่งได้ทดสอบความสามารถในการทนต่อการย่อยในทางเดินอาหารของคนขององค์ประกอบในส่วนที่ไม่ใช่แป้ง (non starch polysaccharides, NSP) ของขนมปังที่ทำมาจากข้าวโพด (White bread cornflakes) พบว่าไม่ถูกย่อยในการทดสอบการทนต่อกรดและเอนไซม์ในลำไส้เล็กของคนขณะที่ ข้าวโอต (Oats) กล้วย และมันฝรั่งมีการย่อยสลายร้อยละ 5.2, 2.9 และ 13.1 ตามลำดับ จึงเห็นได้ว่า EPSs สามารถทนต่อการย่อยในทางเดินอาหารส่วนบนได้ดีกว่าเมื่อเปรียบเทียบกับพรีไบโอติกที่จากพืชที่ได้มีการทดสอบมาแล้ว (Englyst and Cumming, 1985 อ้างโดย Cumming and Englyst, 1987) เช่นเดียวกันกับ oligosaccharides ซึ่งเป็นพรีไบโอติกที่ได้จากนมแม่ที่ได้นำไปทำเป็นพรีไบโอติกเนื่องจากได้ทดสอบแล้วว่ามีความสามารถในการทนต่อการย่อยได้ดีทั้งในกระเพาะอาหารและลำไส้เล็ก (Gnoth, 2000)

จากการทดสอบคุณสมบัติของพรีไบโอติกในด้านความสามารถในการทนต่อการย่อยในทางเดินอาหารส่วนบนซึ่งได้แก่การทนต่อการย่อยในกระเพาะอาหารและลำไส้เล็กซึ่งพบว่า EPSs ทั้งหมดสามารถทนต่อการย่อยได้ดีมากโดยมีเพียงบางส่วนเท่านั้นที่ถูกย่อย ทั้งนี้เนื่องจาก EPSs ที่ใช้ในการทดสอบมีความสามารถในการทนต่อการย่อยโดยกรดซึ่งเป็นการย่อยแบบสุ่ม ทั้งนี้เนื่องจากความแข็งแรงของพันธะภายในพอลิเมอร์ แต่อย่างไรก็ตามในการทดสอบการย่อยในลำไส้เล็กนั้นมีการทดสอบกับเอนไซม์ human pancreatic α -amylase เท่านั้นซึ่งในความเป็นจริงยังมีเอนไซม์ α -amylase ซึ่งพบในน้ำลายซึ่งมีความจำเพาะเช่นเดียวกันกับเอนไซม์นำลำไส้เล็กซึ่งอยู่ในปากแต่การย่อยดังกล่าวเกิดขึ้นได้น้อยมาก เมื่อเปรียบเทียบกับกรดย่อยของ α -amylase ที่อยู่ในลำไส้

เล็กนอกจากนี้ ในลำไส้เล็กนั้นยังมีเอนไซม์ที่สามารถย่อยโพลีแซคคาไรด์ได้เช่น เช่น glucoamylase, maltase, lactase และ sucrase ซึ่งเป็นเอนไซม์ที่มีความจำเพาะกับ α -1,6 และ α -1,4 (Smith and Morton, 2001 อ้างโดย Wichienchot, 2005) ทำให้มีความเป็นไปได้ที่จะย่อย EPSs เนื่องจาก EPSs ทั้ง 4 ชนิดเป็นชนิด homopolysaccharides ที่มีน้ำตาลกลูโคสเป็นองค์ประกอบซึ่งมีความเป็นไปได้ที่จะต่อกันด้วยพันธะ α -1,6 ทำให้ ในความเป็นจริงอาจถูกย่อยมากกว่าที่คาดไว้แต่อย่างไรก็ตาม แนวโน้มในการที่มีปริมาณของ EPSs ที่จะเหลือไปยังลำไส้ใหญ่ที่สูงอยู่จึงน่าสนใจในการที่จะนำ EPSs ดังกล่าวไปใช้เป็นพรีไบโอติกต่อไป

ตารางที่ 15 ร้อยละของการย่อย EPSs โดยเอนไซม์เป็นเวลา 6 ชั่วโมง

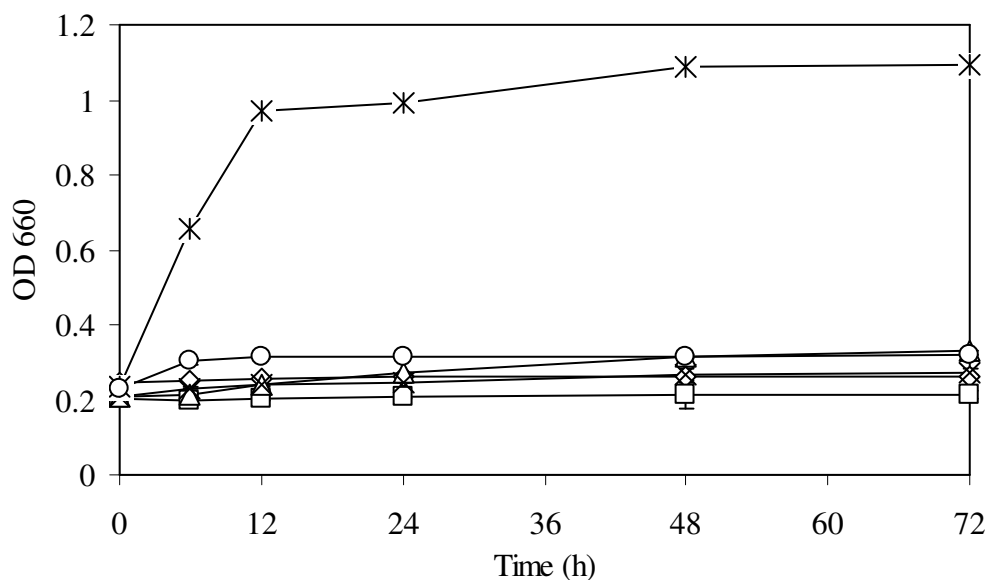
Table 15. Percentage of enzymatic hydrolysis of EPSs for 6 h.

Sources of EPSs	Enzymatic hydrolysis (%)
<i>W. cibaria</i> A2	0.170 ^a
<i>L. plantarum</i> A3	0.144 ^a
<i>W. confusa</i> A9	0.000 ^c
<i>P. pentosaceus</i> 5S4	0.027 ^b

3.4.3 ผลของการใช้ EPSs เป็นแหล่งคาร์บอนต่อการเจริญของแบคทีเรียโปรไบโอติก

นอกจากคุณสมบัติการทนต่อการย่อยโดยกรดและเอนไซม์ในทางเดินอาหารส่วนบนแล้ว พรีไบโอติกจะต้องสามารถส่งเสริมการเจริญของแบคทีเรียโปรไบโอติกในลำไส้ใหญ่ได้ด้วยโดยได้ทดสอบการส่งเสริมการเจริญของ EPSs ที่ผลิตโดยแบคทีเรียทั้ง 4 สายพันธุ์ที่คัดเลือกได้ต่อแบคทีเรียโปรไบโอติก *L. plantarum* เปรียบเทียบกับการใช้น้ำตาลกลูโคสเป็นแหล่งคาร์บอนพบว่าเชื้อจะเจริญได้ดีที่สุดเมื่อใช้น้ำตาลกลูโคสเป็นแหล่งคาร์บอนโดยสามารถวัดค่าความขุ่นที่ความยาวคลื่น 660 นาโนเมตร เท่ากับ 1.097 ที่เวลา 48 ชั่วโมง โดยที่แนวโน้มในการเจริญจะเกิดขึ้นอย่างรวดเร็วในเวลา 12 ชั่วโมงแรกแล้วอัตราการเจริญจะเพิ่มขึ้นเล็กน้อยเมื่อเวลาผ่านไป ในขณะที่ชุดการทดลองที่ใช้ EPSs ซึ่งผลิตโดยแบคทีเรียทั้ง 4 สายพันธุ์เป็นแหล่งคาร์บอนมีการเปลี่ยนแปลงของความขุ่นน้อยมาก และไม่มีแตกต่างกับชุดการทดลองควบคุมซึ่งไม่เติมแหล่งคาร์บอนจึงสรุป

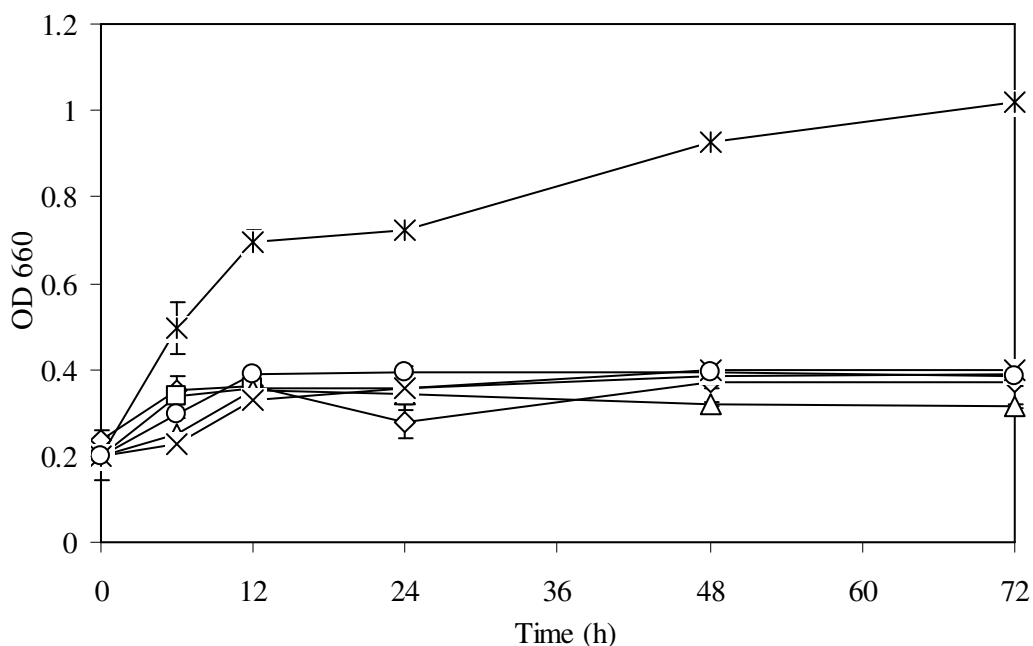
ได้ว่า *L. plantarum* ไม่สามารถใช้ EPSs ที่ผลิตจากแบคทีเรียทั้ง 4 สายพันธุ์เป็นแหล่งคาร์บอนในการเจริญได้ (ภาพที่ 14)



ภาพที่ 14 การเจริญของ *L. plantarum* ในอาหาร minimal medium ที่มีการเติม EPSs ที่ผลิตโดย *W. cibaria* A2 (◇), *W. confusa* A9 (□), *L. plantarum* A3 (△), *P. pentosaceus* 5S4 (×) Glucose (*) และ ไม่เติมแหล่งคาร์บอน (○) ที่อุณหภูมิ 37 องศาเซลเซียส เวลา 72 ชั่วโมง

Figure 14. Growth of *L. plantarum* in minimal medium contained EPSs produced by *W. cibaria* A2 (◇), *W. confusa* A9 (□), *L. plantarum* A3 (△), *P. pentosaceus* 5S4 (×), Glucose (*), and without carbon source (○) at 37°C for 72 h.

เมื่อทดสอบการส่งเสริมการเจริญของ *L. acidophilus* ของ EPSs ที่ผลิตโดยแบคทีเรียทั้ง 4 สายพันธุ์โดยการเติมเป็นแหล่งคาร์บอนแทนน้ำตาลในอาหาร minimal medium เปรียบเทียบการเจริญเมื่อใช้กลูโคสเป็นแหล่งคาร์บอนพบว่า *L. acidophilus* สามารถเจริญได้ดีในอาหารที่ใช้กลูโคสเป็นแหล่งคาร์บอนโดยที่แนวโน้มในการเจริญจะค่อยๆเพิ่มขึ้นเมื่อเพิ่มเวลาในการเลี้ยง ในขณะที่เมื่อใช้ EPSs ที่ผลิตโดยแบคทีเรียทั้ง 4 ชนิดเป็นแหล่งคาร์บอนการเจริญที่วัดได้ไม่มีความแตกต่างกับชุดการทดลองที่ไม่มีการเติมแหล่งคาร์บอน ดังนั้นจึงสามารถสรุปได้ว่า *L. acidophilus* ไม่สามารถใช้ EPSs เป็นแหล่งคาร์บอนในการเจริญได้ (ภาพที่ 15)

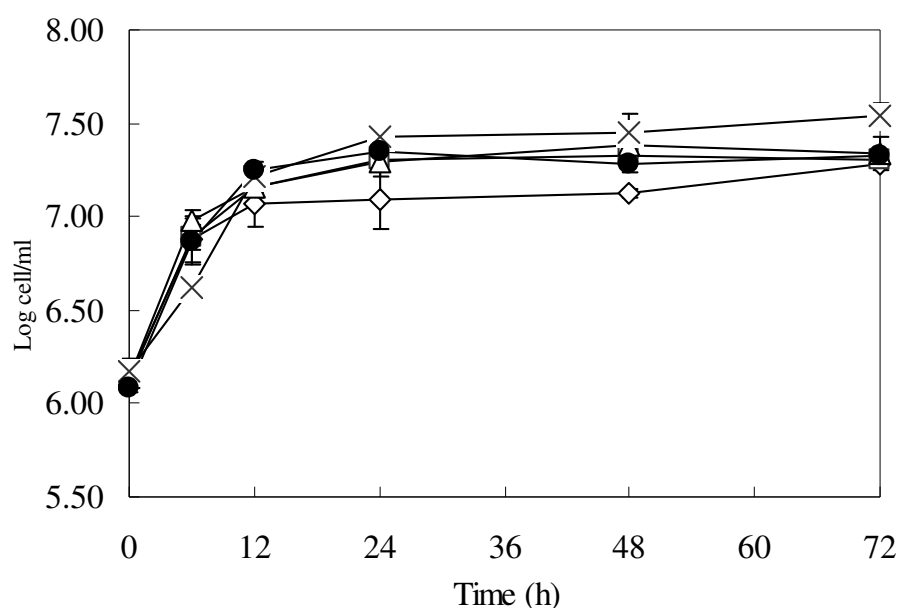


ภาพที่ 15 การเจริญของ *L. acidophilus* ในอาหาร minimal medium ที่มีการเติม EPSs ที่ผลิตโดย *W. cibaria* A2 (◇), *W. confusa* A9 (□), *L. plantarum* A3 (Δ), *P. pentosaceus* 5S4 (*), Glucose (×) และ ไม่เติมแหล่งคาร์บอน (○) ที่อุณหภูมิ 37 องศาเซลเซียส เวลา 72 ชั่วโมง

Figure 15. Growth of *L. acidophilus* in minimal medium contained EPSs produced by *W. cibaria* A2 (◇), *W. confusa* A9 (□), *L. plantarum* A3 (Δ), *P. pentosaceus* 5S4 (*), Glucose (×) and without carbon source (○) at 37 °C for 72 h.

เมื่อศึกษาการใช้ EPSs เป็นแหล่งคาร์บอนของ *B. bifidum* พบว่า *B. bifidum* สามารถเจริญได้ จึงมีการรายงานรูปแบบของการเจริญให้ชัดเจนขึ้น โดยการรายงานในรูปของจำนวนเซลล์ต่อมิลลิลิตร โดยพบว่า การเจริญของ *B. bifidum* จะเพิ่มขึ้นอย่างรวดเร็วในเวลา 12 ชั่วโมงแรกของการเจริญและมีแนวโน้มของการเจริญค่อนข้างคงที่ไปจนครบ 72 ชั่วโมง โดยที่เวลา 72 ชั่วโมงจำนวนเซลล์ของ *B. bifidum* จะอยู่ในช่วง 7.28-7.54 Log cellต่อมิลลิลิตร โดยพบว่าเมื่อใช้ EPSs ที่ผลิตโดย *W. cibaria* A2 เป็นแหล่งคาร์บอนจะพบการเจริญสูงสุดคือ 7.54 Log cellต่อมิลลิลิตร ซึ่งมีความแตกต่างอย่างมีนัยสำคัญ ($p < 0.05$) กับการใช้ EPSs ชนิดอื่นเป็นแหล่งคาร์บอนในขณะที่เมื่อใช้ EPSs ที่ผลิตโดย *P. pentosaceus* 5S4, *W. confusa* A9, *L. plantarum* A3 และ กลูโคส เป็นแหล่งคาร์บอนพบการเจริญที่เวลา 72 ชั่วโมงไม่มีความแตกต่างกัน ($p < 0.05$) ซึ่งมีค่าเท่ากับ 7.28, 7.34, 7.30 และ 7.32 Log cellต่อมิลลิลิตร ตามลำดับ (ภาพที่ 16)

จากการที่มีการวัดการเจริญโดยการนับเซลล์โดยตรงซึ่งเป็นเซลล์ทั้งที่มีและไม่มีชีวิต ดังนั้นจึงได้ทำการหาจำนวนเซลล์ที่มีชีวิตอยู่ที่เวลา 24 ชั่วโมง เพื่อหาร้อยละของเซลล์ที่มีชีวิต โดยในการหาเซลล์ที่มีชีวิตนั้นทำได้โดยใช้ชุดทดสอบ LIVE/DEAD BacLightTM Bacterial Viability kits ซึ่งพบว่า *B. bifidum* ที่ยังมีชีวิตร้อยละ 71.82, 68.61, 71.82, 77.86 และ 73.94 ในชุดการทดลองที่ใช้ EPSs ที่ผลิตโดย *W. cibaria* A2, *P. pentosaceus* 5S4, *W. confusa* A9, *L. plantarum* A3 และ กลูโคส เป็นแหล่งคาร์บอนตามลำดับ

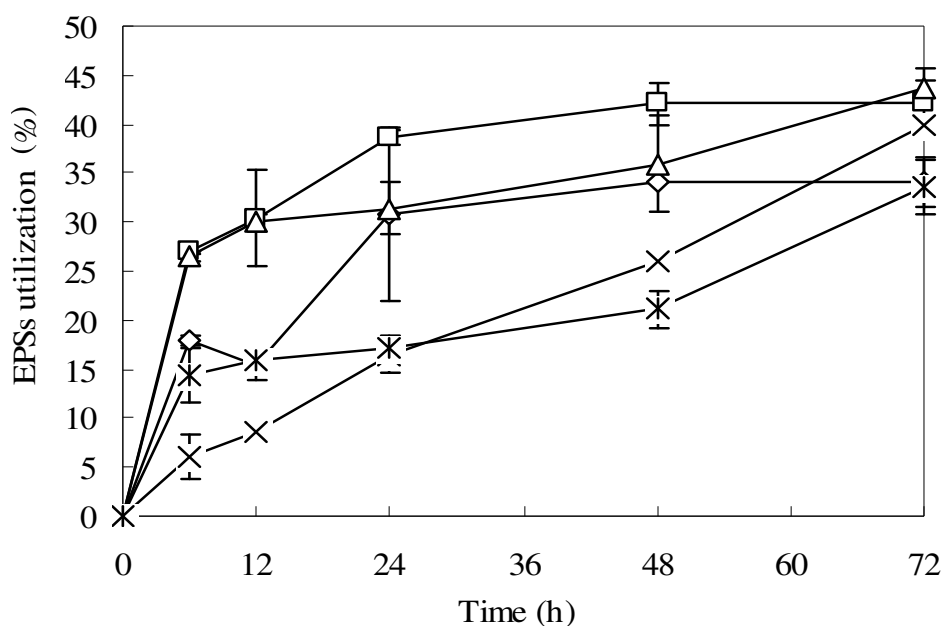


ภาพที่16 การเจริญของ *B. bifidum* ในอาหาร minimal medium ที่มีการเติม EPSs ที่ผลิตโดย *W. cibaria* A2 (×), *W. confusa* A9 (△), *L. plantarum* A3 (□), *P. pentosaceus* 5S4 (◇), และ Glucose (●) เป็นแหล่งคาร์บอน ที่อุณหภูมิ 37 องศาเซลเซียส เวลา 72 ชั่วโมง

Figure16. Growth of *B. bifidum* in minimal medium containrd EPSs produced by *W. cibaria* A2 (×), *W. confusa* A9 (△), *L. plantarum* A3 (□), *P. pentosaceus* 5S4 (◇) and Glucose (●) as carbon sources at 37 °C for 72 h.

เมื่อพิจารณาความสามารถในการส่งเสริมการเจริญของ EPSs ต่อ *B. bifidum* เปรียบเทียบกับชุดการทดลองที่ไม่มีการเติม EPSs เป็นแหล่งคาร์บอนพบว่าจำนวนของ *B. bifidum* มีจำนวนมากกว่าชุดการทดลองควบคุมซึ่งไม่มีการเติมแหล่งคาร์บอนประมาณ 1 Log cellต่อมิลลิลิตร เท่านั้น ซึ่ง EPSs ส่วนที่มีการนำไปใช้ในการเจริญนั้นอาจเป็นส่วนที่เกิดจากการถูกย่อยไปบางส่วนในขั้นตอนการฆ่าเชื้อที่ 110 องศาเซลเซียส เป็นเวลา 20 นาที ซึ่งจากการศึกษาก่อนหน้านี้โดย Korakli

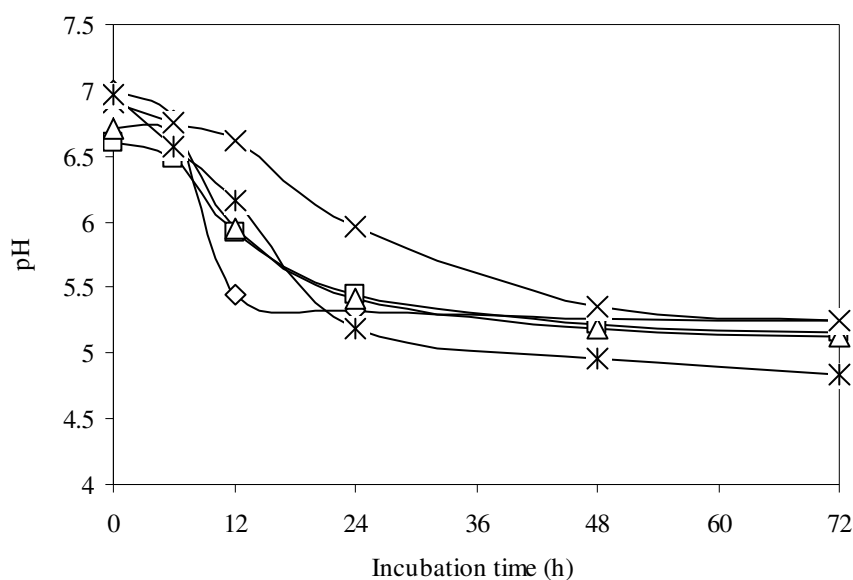
และคณะ (2002) ที่พบว่า EPSs ที่ผลิตโดย *L. sanfranciscensis* TMW1.392 จะถูกย่อยไปบางส่วนในกระบวนการในการฆ่าเชื้อที่ 121 องศาเซลเซียส เป็นเวลา 15 นาที จึงทำให้ EPSs ที่ได้มีขนาดโมเลกุลที่เล็กลง และเมื่อวิเคราะห์ปริมาณ EPSs ที่มีในอาหารเลี้ยงเชื้อที่มีการเจริญของ *B. bifidum* โดยวัดในรูปของน้ำตาลทั้งหมด แล้วเปรียบเทียบกับน้ำตาลทั้งหมด (EPSs) ที่มีการเติมตอนเริ่มต้นพบว่า *B. bifidum* สามารถใช้ EPSs ที่ผลิตโดย *L. plantarum* A3 และ *W. confusa* A9 ไปในการเจริญได้อย่างรวดเร็วที่เวลา 24 ชั่วโมงและมีแนวโน้มคงที่เมื่อเพิ่มระยะเวลาการหมักจนครบ 72 ชั่วโมง ในขณะที่การใช้ EPSs ที่ผลิตโดย *P. pentosaceus* 5S4 จะเพิ่มขึ้นเมื่อเวลาผ่านไป 72 ชั่วโมงและ EPSs ที่ผลิตโดย *W. cibaria* A2 จะเพิ่มขึ้นในเวลา 24 ชั่วโมงแรกของการเลี้ยงและคงที่เมื่อเวลาผ่านไป โดยเมื่อใช้ EPSs ที่ผลิตโดย *L. plantarum* A3 เป็นแหล่งคาร์บอนถูกนำไปใช้มากที่สุดคือร้อยละ 43.57 ที่เวลา 72 ชั่วโมง ในขณะที่เมื่อมีการใช้ EPSs ที่ผลิตจาก *W. cibaria* A2, *W. confusa* A9 และ *P. pentosaceus* 5S4 มีการนำไปใช้ร้อยละ 33.97, 42.19 และ 39.97 ตามลำดับ (ภาพที่ 17)



ภาพที่ 17 ร้อยละของการนำ EPSs ไปใช้โดย *B. bifidum* ในอาหาร minimal medium ที่เติม EPSs ที่ผลิตโดย *W. cibaria* A2 (◇), *W. confusa* A9 (□), *L. plantarum* A3 (△), *P. pentosaceus* 5S4 (×) และ Glucose (*) เป็นแหล่งคาร์บอน อุณหภูมิ 37 องศาเซลเซียส เวลา 72 ชั่วโมง

Figure 17. Percentage of EPSs utilization by *B. bifidum* in minimal medium containing EPSs produced by *W. cibaria* A2 (◇), *W. confusa* A9 (□), *L. plantarum* A3 (△), *P. pentosaceus* (×) and Glucose (*) as carbon sources at 37 °C for 72 h.

เมื่อทดสอบเลี้ยงแบคทีเรีย *B. bifidum* โดยในอาหารที่มี EPSs เป็นแหล่งคาร์บอนและวัดการเปลี่ยนแปลงของพีเอชของอาหารเลี้ยงเชื้อพบว่าจากพีเอชเริ่มต้นที่ 6.9 เมื่อเวลาผ่านไปค่าพีเอชจะค่อยๆ ลดลงและจะคงที่ที่เวลา 24 ชั่วโมงแรกและคงที่เมื่อระยะเวลาในการเลี้ยงเพิ่มขึ้นจนเมื่อครบเวลา 72 ชั่วโมงจะมีพีเอชสุดท้ายเป็น 5.2 สำหรับพอลิเมอร์ทั้ง 4 ชนิด (ภาพที่ 18) และเมื่อเปรียบเทียบการเปลี่ยนแปลงที่เกิดขึ้นในแต่ละชนิดของพอลิเมอร์พบว่า เมื่อใช้พอลิเมอร์ชนิดต่างๆ เป็นแหล่งคาร์บอนในการเจริญในพบว่าระดับพีเอชที่เปลี่ยนแปลงมีแนวโน้มที่เหมือนกันและสัมพันธ์กับการเจริญ



ภาพที่ 18 การเปลี่ยนแปลงของค่าพีเอชระหว่างการหมัก ของ *B. bifidum* ในอาหาร minimal medium ที่ใช้ EPSs ที่ผลิตโดย EPSs ที่ผลิตโดย *W. cibaria* A2 (◇), *W. confusa* A9 (□), *L. plantarum* A3 (Δ), *P. pentosaceus* 5S4 (x) และ Glucose (*) เป็นแหล่งคาร์บอน ที่อุณหภูมิ 37 องศาเซลเซียส เป็นเวลา 72 ชั่วโมง

Figure 18. pH change in anaerobic fermentation by *B. bifidum* in minimal medium using EPSs produced by *W. cibaria* A2 (◇), *W. confusa* A9 (□), *L. plantarum* A3 (Δ), *P. pentosaceus* 5S4 (x) and Glucose (*) as carbon sources at 37 °C for 72 h.

จากการทดสอบความสามารถในการส่งเสริมการเจริญของ EPSs กับแบคทีเรียโปรไบโอติกทั้งหมด 3 สายพันธุ์ได้แก่ *L. plantarum*, *L. acidophilus* และ *B. bifidum* พบว่ามีเพียง *B. bifidum* เท่านั้นที่สามารถเจริญบนอาหารที่มีการเติม EPSs เป็นแหล่งคาร์บอนซึ่งการเจริญนั้นเป็นไปได้น้อย ทั้งนี้เนื่องจาก EPSs ที่ใช้ในการทดสอบถือได้ว่าเป็นพอลิเมอร์ที่มีโมเลกุลขนาดใหญ่ ซึ่งการที่มี

สารอาหารที่มีขนาดโมเลกุลใหญ่จะยากต่อการนำไปใช้โดยแบคทีเรียโปรไบโอติก (Gibson, 2004) ทั้งนี้จากการศึกษาคุณสมบัติในการใช้น้ำตาลชนิดต่างๆเป็นแหล่งคาร์บอนในการเจริญของ *B. bifidum* พบว่าแบคทีเรียสายพันธุ์นี้มีความสามารถในการใช้สารอาหารที่กว้าง (Mlobeli *et al.*, 2002) และมีกิจกรรมของเอนไซม์ glycosidase ที่สูงกว่าแบคทีเรียชนิดอื่นในทางเดินอาหาร (Tochikura *et al.*, 1986 อ้างโดย Desjardins and Roy 1990) ซึ่ง Schell และคณะ (2002) ได้ศึกษาถึงระดับลำดับจีโนมของแบคทีเรีย *B. longum* พบว่ามีโปรตีนที่มีความเกี่ยวข้องกับ การสร้างเอนไซม์ (glycosyl hydrolase) เพื่อใช้ในการย่อยและขนส่งสารประกอบในกลุ่ม oligosaccharides เป็นจำนวนมาก ซึ่งเป็นการสนับสนุนถึงความสามารถของแบคทีเรียในกลุ่ม *Bifidobacterium* ในการย่อยสารกลุ่มนี้ได้ดี นอกจากนี้จากการศึกษาของ Desjardins และ Roy (1990) เกี่ยวกับการสร้างเอนไซม์ของแบคทีเรียในกลุ่ม *Bifidobacterium* จำนวน 22 สายพันธุ์ โดยใช้ API ZYM test kit พบว่าทุกสายพันธุ์มีความสามารถในการสร้างเอนไซม์ α -galactosidase, β -galactosidase และ α -glucosidase และพบว่ามีกิจกรรมของเอนไซม์ α -galactosidase ที่สูงมาก ซึ่งเอนไซม์ชนิดนี้มีความจำเพาะกับการย่อย galactosyl-oligosaccharides ซึ่งมีความจำเพาะในการส่งเสริมการเจริญต่อแบคทีเรียในกลุ่ม *Bifidobacterium* ในทางเดินอาหารของคน (Minami *et al.*, 1985) ในขณะที่ Lee และคณะ (1986, อ้างโดย Desjardins and Roy, 1990) ได้รายงานว่าไม่มีการสร้างเอนไซม์ α -galactosidase และเอนไซม์ α -glucosidase ใน *L. acidophilus*, *L. bulgaricus* และ *S. thermophilus* เมื่อทดสอบโดยการใส่ชุดทดสอบเดียวกันนี้ เช่นเดียวกันกับ Xiao และคณะ (2000) ได้ศึกษาพบว่ามีการสร้างเอนไซม์ α -galactosidase ในแบคทีเรีย *Bifidobacterium* ทุกสายพันธุ์และมีประสิทธิภาพในการย่อยสารที่นำมาทดสอบได้แก่ raffinose ได้ดีกว่าแบคทีเรียชนิดอื่นในลำไส้ถึง 4 เท่า ดังนั้นอาจจะเป็นเหตุผลที่สามารถนำ EPSs ซึ่งเป็นสารที่มีขนาดใหญ่ไปใช้ในการเจริญได้ดีกว่าเมื่อเทียบกับ *L. acidophilus* และ *L. plantarum*

จากการทดลองครั้งนี้ที่พบว่า *B. bifidum* เท่านั้นที่สามารถนำ EPSs ไปใช้ได้เป็นแหล่งคาร์บอนนั้นสอดคล้องกับการศึกษาของ Dell Bello (2001) ซึ่งได้ทดสอบคุณสมบัติของ EPSs ที่ผลิตโดย *L. sanfranciscensis* LTH 1729 และ *L. sanfransiscencis* LTH 2590 โดยเลี้ยงในอาหาร LBB (large bowel model) พบว่ามีเฉพาะแบคทีเรียในกลุ่ม *Bifidobacterium* เท่านั้นที่สามารถเจริญได้ดี โดยที่สามารถเจริญได้ประมาณ 3 Log CFUต่อมิลลิลิตร เมื่อเปรียบเทียบกับชุดการทดลองที่ไม่มีการเติมแหล่งคาร์บอนในขณะที่ *Lactobacillus* จะเพิ่มขึ้นเพียง 0.8 Log CFUต่อมิลลิลิตร และ 0.5 Log CFUต่อมิลลิลิตร ที่เวลา 48 ชั่วโมงตามลำดับ และจากการศึกษาคุณสมบัติความเป็นพรีไบโอติกของ oligosaccharides ที่ได้จากน้ำนมแม่ (human milk oligosaccharides, HMO) พบว่าสามารถส่งเสริมการเจริญได้เฉพาะแบคทีเรีย *B. infantis* เท่านั้น (Ward *et al.*, 2006) นอกจากนี้จากการ

ทดลองของ Mandalari (2006) ที่ได้ศึกษาความเป็นประโยชน์ของ pectic oligosaccharides ที่สกัดได้จากด้วยเอนไซม์จากผิวของเปลือกส้มแล้วได้นำมาทดสอบการส่งเสริมการเจริญของแบคทีเรียในกลุ่ม *Bifidobacterium* และ *Lactobacillus* พบว่าแบคทีเรียในกลุ่ม *Bifidobacterium* สามารถใช้สารดังกล่าวได้ดีกว่า *Lactobacillus* นอกจากนี้จากการทดลองของ Olano-Martin (2002) พบว่าแบคทีเรียโปรไบโอติกแต่ละสายพันธุ์มีความสามารถในการใช้สารอาหารแต่ละชนิดที่แตกต่างกันออกไปและจะมีความจำเพาะแต่ละสายพันธุ์ที่ต่างกันออกไป โดยได้ทดลองศึกษาคุณสมบัติโปรไบโอติกของ pectin ซึ่งเป็นสารในกลุ่ม โพลีแซคคาไรด์ที่มีขนาดใหญ่และเปรียบเทียบกับกับ pectic-oligosaccharides ซึ่งได้จากการย่อย pectin ให้มีขนาดที่เล็กลงโดยพบว่าอาหารดังกล่าวมีความสามารถในการที่จะส่งเสริมการเจริญของแบคทีเรียที่ต่างกันออกไปโดยพบว่า *B. angulatum*, *B. infantis* และ *B. adolescentis* ไม่สามารถเจริญได้บน pectin แต่สามารถเจริญได้บน pectic oligosaccharides ในขณะที่ *B. thetaiotamino*, *Carnobacterium ransus*, *B. lactis* Bb12, *L. plantarum* และ *L. pentosus* สามารถเจริญได้บนอาหารที่เติม pectin แต่ไม่สามารถเจริญได้ในอาหารที่มีการใช้แหล่งคาร์บอนเป็น pectic oligosaccharides นอกจากนี้ Kaplan และ Hithins (2000) ได้ศึกษาความสามารถในการส่งเสริมการเจริญของ fructooligosaccharides ต่อแบคทีเรียโปรไบโอติกซึ่งได้ทดลองใช้สารดังกล่าวเป็นแหล่งคาร์บอนแทนกลูโคสในอาหาร MRS พบว่าจากแบคทีเรียในกลุ่ม *Lactobacillus* ทั้งหมด 16 สายพันธุ์ที่นำมาทดสอบนั้นมี 12 สายพันธุ์ที่สามารถนำสารที่ใช้ทดสอบไปใช้ในการเจริญได้ในขณะที่แบคทีเรียในกลุ่ม *Bifidobacterium* สามารถใช้สารดังกล่าวได้จำนวน 7 สายพันธุ์จากทั้งหมด 8 สายพันธุ์ จะเห็นได้ว่าการเจริญของแบคทีเรียโปรไบโอติกแต่ละสายพันธุ์นั้นจะมีความจำเพาะกับสารแต่ละชนิดที่แตกต่างกันออกไปโดยที่แบคทีเรียโปรไบโอติกไม่สามารถที่จะใช้สารทุกชนิดในการเจริญได้

จากการศึกษาการเจริญของแบคทีเรียโปรไบโอติกที่มีพอลิเมอร์เป็นแหล่งคาร์บอน พบว่าขนาดของพอลิเมอร์มีความสำคัญโดยพบว่าสารประกอบที่มีขนาดใหญ่ โดยเฉพาะอย่างยิ่งสารในกลุ่ม โพลีแซคคาไรด์จะไม่มี ความจำเพาะในการส่งเสริมการเจริญของแบคทีเรียโปรไบโอติกอย่างเช่นการศึกษาของ Marx และ คณะ (2002) ที่พบว่าเมื่อใช้ levan ซึ่งเป็นโพลีแซคคาไรด์ที่มีโมเลกุลขนาดใหญ่มาทดสอบความสามารถในการส่งเสริมการเจริญของแบคทีเรียโปรไบโอติก พบว่าไม่มีโปรไบโอติกสายพันธุ์ใดเลยที่สามารถเจริญได้แต่เมื่อนำ levan มาย่อยให้มีขนาดที่เล็กลงพบว่าสามารถส่งเสริมการเจริญของแบคทีเรียโปรไบโอติกในทุกสายพันธุ์ที่นำมาทดสอบ ซึ่งจากแนวคิดดังกล่าวนี้สามารถนำมาใช้ในการปรับปรุงคุณสมบัติของโปรไบโอติกได้โดยการทำให้โปรไบโอติกมีขนาดเล็กลงเพื่อนำไปใช้ได้ดีกว่าโดยโปรไบโอติก จากการทดลองแสดงให้เห็นว่าแบคทีเรียแต่ละชนิดไม่สามารถใช้สารอาหารได้ทุกชนิดโดยที่อาหารแต่ละชนิดจะมีความจำเพาะกันกับชนิดของ

แบคทีเรียซึ่งขึ้นอยู่กับความแตกต่างของกระบวนการในการย่อยและการขนส่งสารเข้าเซลล์ของแบคทีเรียแต่ละสายพันธุ์ (Monsan and Paul, 1995)

การทดลองในครั้งนี้เป็นการทดสอบคุณสมบัติเบื้องต้นของ EPSs ว่าสามารถส่งเสริมการเจริญของแบคทีเรียโปรไบโอติกได้หรือไม่โดยการใส่โปรไบโอติกบางสายพันธุ์ที่เป็นเชื้อบริสุทธิ์มาทดสอบ ซึ่งในความเป็นจริงในระบบทางเดินอาหารของคนเราจริงๆจะมีองค์ประกอบอื่นที่ซับซ้อนกว่า และมีจำนวนและชนิดของจุลินทรีย์ที่มากกว่า ดังนั้นอาจจะมีแบคทีเรียโปรไบโอติกสายพันธุ์อื่นที่สามารถใช้สารที่นำมาทดสอบได้นอกจากนี้ในสภาวะความเป็นจริงในลำไส้ใหญ่จะเป็นการอยู่ร่วมกันของกลุ่มจุลินทรีย์ซึ่งอาจจะอยู่ร่วมกันในลักษณะที่ metabolize ของสายพันธุ์หนึ่งอาจจะเป็นสารตั้งต้นในการเจริญของแบคทีเรียอีกสายพันธุ์หนึ่งได้ (Gibson and Roberfroid, 1995) ดังนั้นในสภาวะความเป็นจริงในลำไส้ใหญ่ EPSs อาจจะสามารถส่งเสริมการเจริญของแบคทีเรียโปรไบโอติกสายพันธุ์อื่นๆได้ นอกจากนี้จากคุณสมบัติความเป็นพรีไบโอติกของ EPSs ที่สามารถทนต่อการย่อยในทางเดินอาหารส่วนบนได้คือนั้น เป็นคุณสมบัติที่น่าสนใจที่จะนำโพลิเมอร์ดังกล่าวมาประยุกต์ใช้งานในด้านการเป็นชนิดห่อหุ้มแบคทีเรียโปรไบโอติกเพื่อให้เหลือรอดไปยังลำไส้ใหญ่ได้หากมีการศึกษาต่อได้

3.4.3.1 ปริมาณของกรดไขมันสายสั้น (short-chain fatty acids) ที่ได้จากการหมัก EPSs ของ *B. bifidum*

วิเคราะห์ปริมาณกรดไขมันสายสั้นที่ได้จากการหมัก EPSs โดยวิธี Gas Chromatography-Flam Ionization Detector (GC-FID) พบว่าสามารถผลิตกรดอินทรีย์ได้หลายชนิด ได้แก่ กรดโพรพิโอนิก กรดบิวทริก และกรดอะซิติก โดยผลิต กรดอะซิติกปริมาณสูงสุดคือ ผลิตได้ในช่วง 8.6-13.4 mM โดยที่เมื่อมีการใช้ กลูโคสเป็นแหล่งคาร์บอนจะได้กรดอะซิติกในปริมาณที่มากที่สุดคือ 13.40 mM และเมื่อใช้ EPSs ที่ผลิตจาก *L. plantarum* A3 จะพบปริมาณกรดอะซิติกในปริมาณน้อยที่สุดคือ 8.69 mM ในขณะที่การใช้ EPSs ที่ผลิตโดย *W. confusa* A9, *W. cibaria* A2 และ *P. pentosaceus* 5S4 จะพบการสร้าง กรดอะซิติกในปริมาณ 11.58 11.40 และ 9.97 mM ส่วนการผลิต กรดโพรพิโอนิก และกรดบิวทริกพบว่า มีการผลิตได้ในปริมาณที่น้อยคือ 0.24 – 0.25 และ 0.16-0.17 mM ตามลำดับ โดยที่เมื่อใช้แหล่งคาร์บอนต่างชนิดกันปริมาณกรดที่มีการผลิตจะไม่มี ความแตกต่างกันอย่างมีนัยสำคัญ ($p < 0.05$) (ตารางที่ 16) โดยพบว่าการสร้างกรดไขมันสายสั้นของ *B. bifidum* เมื่อเจริญในแหล่งคาร์บอนต่างชนิดกันมีความสัมพันธ์กับการเจริญและการนำ EPSs ใช้ในการเจริญ เช่น เมื่อเลี้ยง *B. bifidum* เจริญในอาหารที่มีการเติม EPSs ที่ผลิตโดย *W. cibaria* A2 มีการเจริญสูงสุด และพบว่าการผลิต กรดไขมันสายสั้นในปริมาณที่มากเช่นเดียวกัน จากการทดลองครั้งนี้ปริมาณกรดไขมันสายสั้นที่ได้มีค่าน้อยกว่าลำไส้จริงแต่ในสภาวะความเป็นจริงในลำไส้ใหญ่นั้นจะมีอัตราส่วน

ของกรด อะซิติก: โพรพิโอนิก: บิวทริก ในอัตราส่วน 55:20:15 (Cumming and Macfarlane, 1991) แต่จากการทดลองในครั้งนี้ตรวจพบกรดอะซิติกในอัตราที่สูงมากเมื่อเทียบกับ กรดโพรพิโอนิก และบิวทริกทั้งนี้อาจเนื่องจากการทดลองครั้งนี้เป็นการใช้เชื้อ *B. bifidum* ซึ่งเป็นเชื้อเดี่ยวๆ และปกติเป็นแบคทีเรียที่สร้างกรดอะซิติกเป็นชนิดหลักอยู่แล้วจึงทำให้พบกรดชนิดนี้มากกว่าปกติ นอกจากนี้เมื่อพิจารณาปริมาณของกรดบิวทริกซึ่งมีปริมาณ 0.15 mM โดยในการศึกษาพบว่า ปริมาณของบิวทริกความเข้มข้นที่พบในทางเดินอาหารปกติเท่ากับ 12-20 mM (Smith and German, 1995) อย่างไรก็ตามในความเป็นจริงแล้วในลำไส้ใหญ่จะประกอบไปด้วยกลุ่มของแบคทีเรียที่มีความหลากหลายมากกว่า 500 สายพันธุ์จึงทำให้ค่าที่ได้คลาดเคลื่อนจากความเป็นจริง

ตารางที่ 16 ปริมาณกรดไขมันสายสั้นที่เกิดขึ้นในการหมักแบบไร้ออกซิเจนโดย *B. bifidum* ในอาหาร minimal medium ที่มีการเติม EPSs เป็นแหล่งคาร์บอน ที่ 37 องศาเซลเซียส เวลา 48 ชั่วโมง

Table 16. Short chain fatty acid formation in anaerobic fermentation by *B. bifidum* in minimal medium containing EPSs as carbon sources at 37 °C for 48 h.

Sources of EPSs	Short chain fatty acid (mM)		
	Acetic acid	Propionic acid	Butyric acid
<i>W. cibaria</i> A2	11.401 ± 0.612 ^{ab}	0.240 ± 0.006 ^a	0.159 ± 0.000 ^a
<i>W. confusa</i> A9	11.578 ± 0.820 ^{ab}	0.252 ± 0.004 ^a	0.168 ± 0.005 ^a
<i>L. plantarum</i> A3	8.696 ± 0.490 ^b	0.242 ± 0.007 ^a	0.159 ± 0.009 ^a
<i>P. pentosaceus</i> 5S4	9.973 ± 1.831 ^b	0.225 ± 0.004 ^a	0.166 ± 0.006 ^a
Glucose	13.400 ± 1.185 ^a	0.248 ± 0.017 ^a	0.157 ± 0.001 ^a

3.4.3.2 ผลของ EPSs ในการส่งเสริมกิจกรรมการยับยั้งแบคทีเรียของ *B. bifidum*

เมื่อนำน้ำหมักที่ได้จากการแยกเซลล์ *B. bifidum* มาทดสอบความสามารถในการยับยั้งแบคทีเรีย *Stap. aureus*, *Sal. Typhi*, และ *E. coli* โดยวิธี microdilution test พบว่าไม่มีกิจกรรมการยับยั้งของน้ำหมักที่ได้จากการเลี้ยง *B. bifidum* ในอาหารที่ใช้ EPSs และ กลูโคสเป็นแหล่งคาร์บอน ทั้งนี้เนื่องจากการเจริญของ *B. bifidum* เป็นไปได้น้อยจึงทำให้มีการผลิตกรดซึ่งมีบทบาทในการ

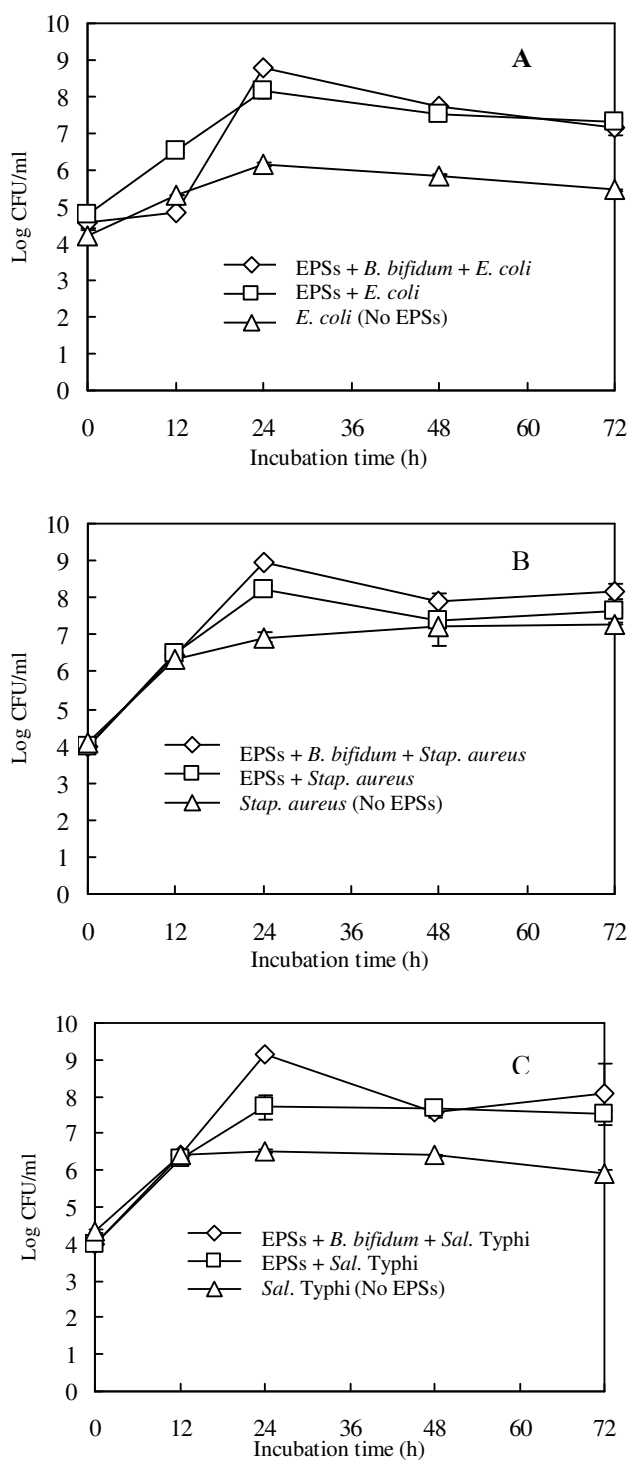
ยับยั้งแบคทีเรียก่อโรคได้น้อย โดยเฉพาะกรดอะซิติกซึ่งเป็นกรดหลักที่แบคทีเรียสายพันธุ์นี้ผลิตได้ โดยในการทดสอบครั้งนี้ผลิตได้ในช่วงประมาณ 8.6-13.4 mM ซึ่งไม่สูงพอที่จะยับยั้งการเจริญของแบคทีเรียก่อโรคได้ เนื่องจากความเข้มข้นของกรดอะซิติกที่ยับยั้งการเจริญของแบคทีเรียก่อโรคคือต้องมากกว่าร้อยละ 0.06 (9.9 mM) ดังนั้นจากความปริมาณกรดดังกล่าวจึงทำให้ไม่พบการยับยั้งถึงแม้ว่าในการศึกษาก่อนหน้านี้พบว่าแบคทีเรียในกลุ่ม *Bifidobacterium* สามารถยับยั้งแบคทีเรียก่อโรคได้แก่ *E. coli*, *Stap. aureus*, *Shigella dysenteriae* และ *Sal. Typhi* ได้ก็ตาม (Rasic, 1983 อ้างโดย Leahy *et.al.*, 2005)

3.4.4 ผลการยับยั้งแบคทีเรียก่อโรคของโปรไบโอติกในอาหารที่มี EPSs เป็นแหล่งคาร์บอน

เมื่อทดสอบการยับยั้งของ *B. Bifidum* ต่อแบคทีเรียก่อโรคในอาหารที่มีการเติม EPSs ที่ผลิตโดย *W. cibaria* A2 เป็นแหล่งคาร์บอนพบว่าเมื่อเลี้ยงร่วมกันกับ *E. coli* พบว่าจำนวนของ *E. coli* ในชุดการทดลองที่เลี้ยงร่วมกันกับ *B. bifidum* และชุดการทดลองที่เลี้ยงเดี่ยวๆ มีจำนวนที่ใกล้เคียงกันคือ 7.15 และ 7.32 Log CFU ต่อ มิลลิลิตร (ภาพที่ 19A) ตามลำดับเช่นเดียวกันกับชุดการทดลองที่เลี้ยง *Stap. aureus* ร่วมกันกับ *B. bifidum* พบว่าชุดที่เลี้ยงร่วมกันและชุดการทดลองที่เลี้ยงเดี่ยวๆ มีจำนวนของ *Stap. aureus* เท่ากับ 8.17 และ 7.65 Log CFU ต่อ มิลลิลิตรตามลำดับ (ภาพที่ 19B) ซึ่งแสดงให้เห็นว่าไม่เกิดการยับยั้ง ทำนองเดียวกันกับการทดสอบกับ *Sal. Typhi* พบว่ามีจำนวน 8.06 และ 7.5 Log CFU ต่อ มิลลิลิตร ในชุดการทดลองที่เลี้ยงร่วมกันกับ *B. bifidum* และชุดการทดลองที่เลี้ยงเดี่ยวๆตามลำดับ(ภาพที่ 19C) ซึ่งแสดงให้เห็นว่า *B. bifidum* ไม่สามารถยับยั้งการเจริญของแบคทีเรียก่อโรคทั้งสามสายพันธุ์ที่นำมาทดสอบได้นอกจากนี้ยังพบว่า *Stap. aureus*, *Sal. Typhi* และ *E. coli* สามารถนำ EPSs ไปใช้เป็นแหล่งคาร์บอนในการเจริญได้ด้วยเนื่องจากการเจริญของแบคทีเรียทั้งสามสายพันธุ์ในชุดการทดลองที่มีการเติม EPSs เป็นแหล่งคาร์บอนสูงกว่าชุดการทดลองที่ไม่เติมแหล่งคาร์บอนซึ่งมีการเจริญ 7.29, 5.9 และ 5.45 Log CFU ต่อ มิลลิลิตรตามลำดับ และจากการทดสอบการยับยั้งแบคทีเรียก่อโรคโดย *B. bifidum* ในอาหารที่มีการใช้ EPSs ที่ผลิตโดย *W. confusa* A9 เป็นแหล่งคาร์บอนพบว่าการเจริญของ *E. coli* ในชุดการทดลองที่เลี้ยงร่วมกันระหว่าง *B. bifidum* และชุดการทดลองที่เลี้ยงเดี่ยวๆที่เวลา 72 ชั่วโมงเป็น 7.67 และ 7.02 Log CFU ต่อ มิลลิลิตรตามลำดับ (ภาพที่ 20A) ในขณะที่เมื่อทดสอบการยับยั้งต่อ *Stap. aureus* พบว่ามีการเจริญที่เวลา 72 ชั่วโมงเป็น 7.76 และ 7.9 Log CFU ต่อ มิลลิลิตรเมื่อเลี้ยงร่วมกันกับ *B. bifidum* และเลี้ยงเดี่ยวๆ ตามลำดับ (ภาพที่ 20B) ทำนองเดียวกันกับการเจริญของ *Sal. Typhi* ในชุดการทดลองที่เลี้ยงร่วมกันกับ *B. bifidum* และชุดการทดลองที่เลี้ยงเดี่ยวๆ พบว่ามีการเจริญที่เวลา 72 ชั่วโมงเป็น 5.77 และ 5.7 Log CFU ต่อ มิลลิลิตรตามลำดับ (ภาพที่ 20C) ซึ่งสามารถสรุปได้ว่า *B. bifidum* ไม่

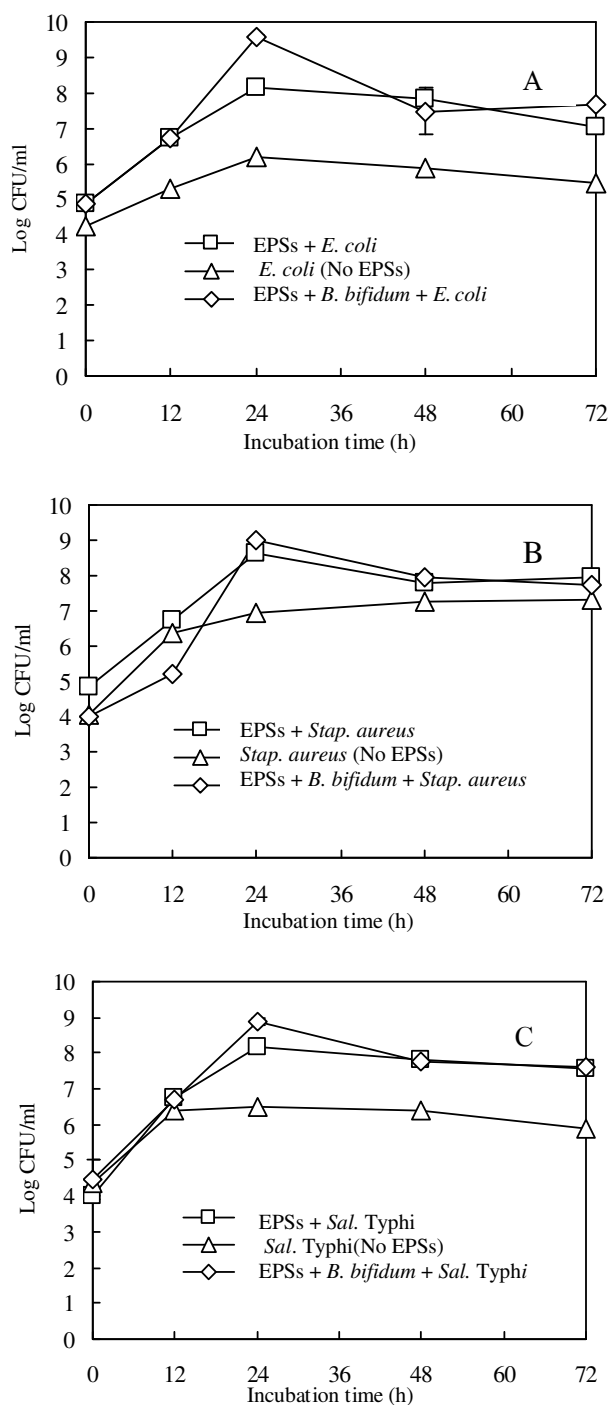
สามารถยับยั้งการเจริญของแบคทีเรียก่อโรคทั้ง สามสายพันธุ์ที่นำมาทดสอบเมื่อเลี้ยงร่วมกันในอาหารที่มี EPSs ที่ผลิตโดย *W. confusa* A9 เป็นแหล่งคาร์บอนได้ ยิ่งไปกว่านั้น ยังพบว่า *E. coli* และ *Sal. Typhi* สามารถนำ EPSs ที่ผลิตโดย *W. confusa* A9 ไปใช้เป็นแหล่งคาร์บอนในการเจริญได้ด้วยเนื่องจากการเจริญของแบคทีเรียทั้งสองเมื่อเลี้ยงในอาหารที่มี EPSs เป็นแหล่งคาร์บอนสูงกว่าการเจริญของชุดการทดลองที่ไม่มีการเติมแหล่งคาร์บอนในขณะที่ *Stap. aureus* สามารถเจริญได้ใกล้เคียงกันระหว่างชุดการทดลองที่เติมและไม่เติม EPSs เป็นแหล่งคาร์บอน

จากการที่แบคทีเรียก่อโรคสามารถใช้พรีไบโอติกในการเจริญได้นั้นได้สอดคล้องกับการศึกษาของ Dell Bello (2001) ซึ่งได้ศึกษาคุณสมบัติความเป็นพรีไบโอติกของ EPSs ที่ผลิตโดย *L. sanfranciscensis* LTH 1729 และ *L. sanfransiscencis* LTH 2590 พบว่านอกจากจะสามารถส่งเสริมการเจริญของ *Bifidobacterium* แล้วยังส่งเสริมการเจริญของ *Clostridium*, *Bacteriodes* และแบคทีเรียในกลุ่ม coliforms ได้อีกด้วยซึ่งเป็นเช่นเดียวกันกับการศึกษาความเป็นพรีไบโอติกของ Fructooligosaccharides (FOS) พบว่านอกจาก FOS จะส่งเสริมการเจริญของ *Bifidobacterium* แล้วยังส่งเสริมการเจริญของ *Bacteroides* sp., *Mituokella* sp., *Clostrium* sp. และ *Eubacterium* sp. ได้อีกด้วย (Yamada *et. al.*, 1993) นอกจากนี้จากการทดลองของ Jaskari และคณะ (1998) ซึ่งได้รายงานว่าการที่ได้จาก oat β -glucan และ xylan hydrolysates สามารถชักนำการเจริญของ *Bacteriodes* sp. และ *Clostridium* sp. ได้เช่นกัน เช่นเดียวกับ gentio-oligosaccharides ซึ่งเป็นพอลิเมอร์ที่ประกอบไปด้วยกลูโคสที่ต่อกันด้วยพันธะ β 1-6 นอกจากนี้ยังสามารถส่งเสริมการเจริญของแบคทีเรียในกลุ่มโปรไบโอติกแล้วยังสามารถส่งเสริมการเจริญของ *E. coli* ได้อีกด้วย (Rycroft, 2001) และสอดคล้องกับผลการศึกษาของ Ten Bruggencate (2004) ซึ่งได้ทำการทดลองโดยการให้อligosaccharides และ Inulin แก่หนู (Male Wistar rats) พบว่านอกจากแบคทีเรียในกลุ่ม *Lactobacilli* จะเพิ่มขึ้นแล้ว *Salmonella* ก็มีการเจริญเช่นกัน



ภาพที่ 19 การเจริญของ *E. coli* (A), *Stap. aureus* (B), *Sal. Typhi* (C) ใน minimal medium ซึ่งมี EPSs ที่ผลิตโดย *W. cibaria* A2 เป็นแหล่งคาร์บอน

Figure19. Growth of *E. coli* (A), *Stap. aureus* (B), *Sal. Typhi* (C) in minimal medium containing EPSs produced by *W. cibaria* A2 as a carbon source.



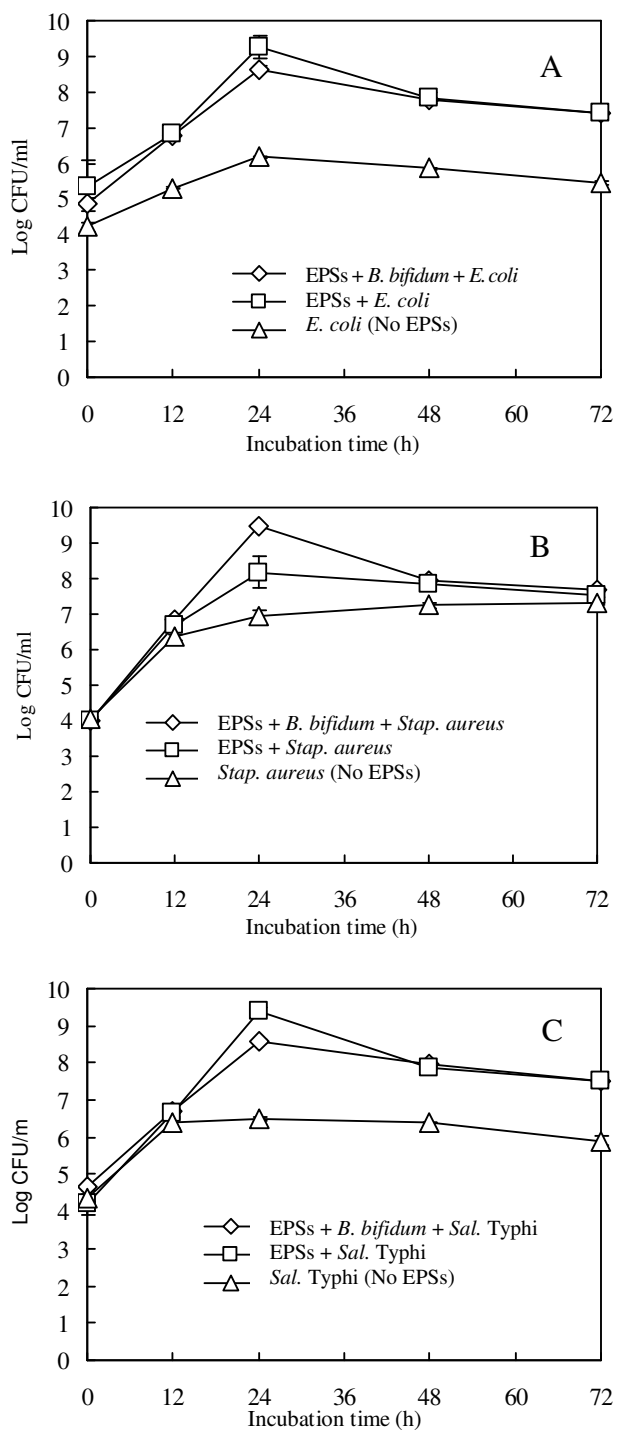
ภาพที่ 20 การเจริญของ *E. coli* (A), *Stap. aureus* (B), *Sal. Typhi* (C) ใน minimal medium ซึ่งมี EPSs ที่ผลิตโดย *W. confusa* A9 เป็นแหล่งคาร์บอน

Figure 20. Growth of *E. coli* (A), *Stap. aureus* (B), *Sal. Typhi* (C) in minimal medium containing EPSs produced by *W. confusa* A9 as a carbon source.

เมื่อทดสอบ ความสามารถในการยับยั้งแบคทีเรียก่อโรคของ *B. bifidum* เมื่อเลี้ยงร่วมกัน โดยมี EPSs ที่ผลิต โดย *P. pentosaceus* 5S4 เป็นแหล่งคาร์บอน พบว่าการเจริญของ *E. coli* ในชุดการทดลองที่เลี้ยงร่วมกันกับ *B. bifidum* ชุดการทดลองที่เลี้ยงเดี่ยวๆ มีการเจริญที่เวลา 72 ชั่วโมง เป็น 7.41 และ 7.40 Log CFUต่อมิลลิลิตรตามลำดับ (ภาพที่ 21A) ทำนองเดียวกันกับ *Stap. aureus* พบว่าการเจริญเท่ากับ 7.60 และ 7.54 Log CFUต่อมิลลิลิตร ในชุดการทดลองที่เลี้ยงร่วมกันกับ *B. bifidum* และชุดการทดลองที่เลี้ยงเดี่ยว (ภาพที่ 21B) นอกจากนี้เมื่อทดสอบกับ *Sal. Typhi* พบว่าเมื่อเลี้ยงร่วมกันกับ *B. bifidum* จะมีจำนวน 7.49 Log CFUต่อมิลลิลิตร ในขณะที่เมื่อเลี้ยงเดี่ยวๆ พบว่าการเจริญเท่ากับ 7.51 Log CFUต่อมิลลิลิตร ที่เวลา 72 ชั่วโมง ซึ่งจากการทดสอบพบว่าไม่มีการยับยั้งเกิดขึ้นเมื่อเลี้ยงร่วมกันระหว่างแบคทีเรียก่อโรคและ *B. bifidum* (ภาพที่ 21C)

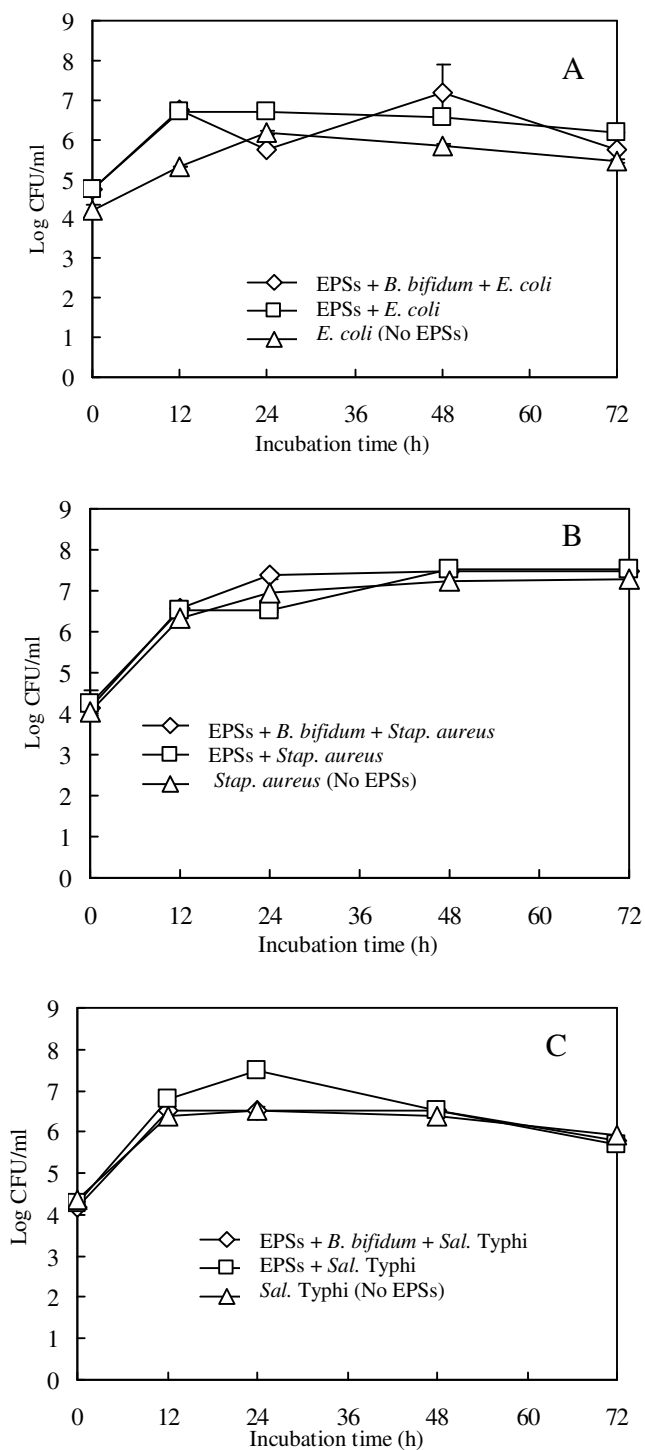
เมื่อทดสอบการยับยั้ง ของ *B. bifidum* ต่อแบคทีเรียก่อโรคเมื่อเลี้ยงร่วมกันในอาหารที่มี EPSs ที่ผลิตโดย *L. plantarum* A3 เป็นแหล่งคาร์บอนพบการเจริญของ *E. coli* เมื่อเลี้ยงร่วมกันกับ *B. bifidum* และเลี้ยงเดี่ยวๆ ที่เวลา 72 ชั่วโมงเป็น 5.76 และ 7.6 Log CFUต่อมิลลิลิตรตามลำดับ (ภาพที่ 22A) ทำนองเดียวกันกับ *Stap. aureus* 72 ชั่วโมง เป็น 7.47 และ 7.5 Log CFUต่อมิลลิลิตร ในชุดการทดลองที่เลี้ยงร่วมกันกับ *B. bifidum* และชุดการทดลองที่เลี้ยงเดี่ยวๆ (ภาพที่ 22B) นอกจากนี้เมื่อทดสอบการยับยั้งต่อ *Sal. Typhi* พบว่าเมื่อเลี้ยงร่วมกันกับ *B. bifidum* มีการเจริญที่เวลา 72 ชั่วโมงเป็น 5.77 และ 5.70 Log CFUต่อมิลลิลิตรตามลำดับ (ภาพที่ 22C) จากการเจริญของแบคทีเรียก่อโรคทั้งสามสายพันธุ์ที่นำมาทดสอบพบว่า *B. bifidum* ไม่สามารถยับยั้งการเจริญของแบคทีเรียที่นำมาทดสอบได้

ในการทดลองครั้งนี้พบว่าเมื่อเลี้ยงร่วมกันระหว่าง *B. bifidum* และแบคทีเรียก่อโรคทั้งสามสายพันธุ์ ไม่ถูกยับยั้งโดย *B. bifidum* เมื่อมีการเจริญร่วมกันในอาหารที่มี EPSs เป็นแหล่งคาร์บอน ทั้งนี้อาจเนื่องจากการเจริญของ *B. bifidum* ในอาหารที่มี EPSs เป็นแหล่งคาร์บอน เป็นไปได้น้อยจึงทำให้สร้างสารที่มีบทบาทไปยับยั้งและการแย่งสารอาหารมีน้อยด้วย นอกจากนี้เมื่อเลี้ยงร่วมกันระหว่างแบคทีเรียโปรไบโอติกและแบคทีเรียก่อโรคโดยการใช้ EPSs ที่ผลิตโดยแบคทีเรียสายพันธุ์ต่างๆเป็นแหล่งคาร์บอนนั้นพบว่าแบคทีเรียก่อโรบบางสายพันธุ์ที่สามารถใช้ EPSs เป็นแหล่งคาร์บอนในการเจริญเติบโตได้ ซึ่งในความเป็นจริงนั้นการที่จะหาสารที่มีความจำเพาะต่อการเจริญของแบคทีเรียโปรไบโอติกเพียงอย่างเดียวนั้นถือว่าทำได้ยาก โดยในสถานะในทางเดินอาหารจริงๆ จุลินทรีย์ก่อโรคอาจจะใช้สารนั้นได้แต่ด้วยในสถานะที่มีการเจริญของโปรไบโอติกที่มากกว่าทำให้แบคทีเรียก่อโรคไม่สามารถที่จะเจริญได้เต็มที่ด้วยกลไกต่างๆ เช่นการสร้างสารมายับยั้งความสามารถในการแย่งสารอาหาร หรือจะเป็นการแย่งพื้นที่ในการเกาะในผนังลำไส้ เป็นต้น



ภาพที่ 21. การเจริญของ *E. coli* (A), *Stap. aureus* (B), *Sal. Typhi* (C) ใน minimal medium ซึ่งมี EPSs ที่ผลิตโดย *P. pentosaceus* 5S4 เป็นแหล่งคาร์บอน

Figure 21. Growth of *E. coli* (A), *Stap. aureus* (B), *Sal. Typhi* (C) in minimal medium containing EPSs produced by *P. pentosaceus* 5S4 as a carbon source.



ภาพที่ 22 การเจริญของ *E. coli* (A), *Stap. aureus* (B), *Sal. Typhi* (C) ใน minimal medium ซึ่งมี EPSs ที่ผลิตโดย *L. plantarum* A3 เป็นแหล่งคาร์บอน

Figure 22. Growth of *E. coli* (A), *Stap. aureus* (B), *Sal. Typhi* (C) in minimal medium containing EPSs produced by *L. plantarum* A3 as a carbon source.

จากการศึกษาที่ได้รายงานมานั้นจะสังเกตเห็นได้ว่าความจำเพาะของสารประกอบที่คาดว่า เป็นพรีไบโอติกนั้นมีความแตกต่างกันออกไปมีสารหลายชนิดมากที่ทั้งแบคทีเรียกลุ่มโพรไบโอติก และแบคทีเรียสามารถใช้สารดังกล่าวได้ทั้งนี้เนื่องจากความจำเพาะของโครงสร้างของพอลิเมอร์ และเอนไซม์ที่สร้างจากแบคทีเรียแต่ละชนิดหรืออาจจะเกิดจากขนาดโมเลกุลของสารที่แตกต่างกัน ซึ่ง Olano–Martin (2002) ได้สรุปว่าสารที่มีขนาดโมเลกุลใหญ่มีความจำเพาะในการส่งเสริมการเจริญต่อแบคทีเรียโพรไบโอติกได้น้อย ดังนั้นจึงเป็นไปได้ว่าเมื่อมีการเจริญของโพรไบโอติกได้น้อยจึงทำให้แบคทีเรียในกลุ่มอื่นที่ไม่ต้องการ ซึ่งเป็นแบคทีเรียก่อโรคสามารถเจริญได้ด้วยซึ่งในการทดลองในครั้งนี้เป็นการใช้ EPSs ซึ่งเป็นสารที่มีขนาดใหญ่ทำให้นอกจากโพรไบโอติกจะสามารถนำสารไปใช้ได้แล้ว แบคทีเรียก่อโรคเองก็สามารถใช้ได้ด้วยเนื่องจากเป็นสารที่ไม่มี ความจำเพาะในการเลือกที่จะส่งเสริมการเจริญเฉพาะแบคทีเรียในกลุ่มโพรไบโอติกเพียงอย่างเดียว จากการที่ทดสอบการเลี้ยงร่วมกันระหว่างแบคทีเรียโพรไบโอติกและแบคทีเรียก่อโรคโดยการใช้ EPSs เป็นแหล่งคาร์บอนนั้นพบว่า EPSs ไม่มีบทบาทในการส่งเสริมการยับยั้งแบคทีเรียก่อโรคของ *B. bifidum* ซึ่งการทดลองดังกล่าวเป็นการทดลองในสภาวะจำลองเท่านั้น แต่ในความเป็นจริงภายในลำไส้ใหญ่นั้น บทบาทของพรีไบโอติกนอกจากจะส่งเสริมการเจริญของโพรไบโอติกในการที่จะยับยั้งการเจริญของแบคทีเรียก่อโรคแล้วยังมีบทบาทในการป้องกันไม่ให้แบคทีเรียก่อโรคเหล่านี้ เกาะผนังลำไส้ทั้งนี้เนื่องจากแบคทีเรียโดยทั่วไปจะใช้ carbohydrate-binding protein ซึ่งเป็นโปรตีน ที่อยู่บนผิวเซลล์ของแบคทีเรีย ดังนั้นบทบาทหนึ่งของพรีไบโอติกในการที่จะลดแบคทีเรียก่อโรคก็คือการไปจับกับแบคทีเรียและผนังของลำไส้แทนการที่แบคทีเรียจะไปจับกับลำไส้ทำให้เกิดการเกิดโรคลงได้ (Zopf, 1996 อ้างโดย Korakli *et al.*, 2006) ซึ่งจากการศึกษาของ Coppa และคณะ (2006) พบว่า oligosaccharides ที่ได้จากนมแม่มีบทบาทในการป้องกันการยึดเกาะของแบคทีเรียก่อโรค ได้แก่ *E. coli*, *Vibrio cholerae* และ *Sal. fuyris* ต่อผนังลำไส้